



相対論的ファイアボールからの 電子陽電子対消滅ライン放射

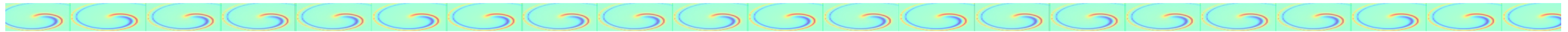
東北大学
和田知巳



Collaboration with 木村成生

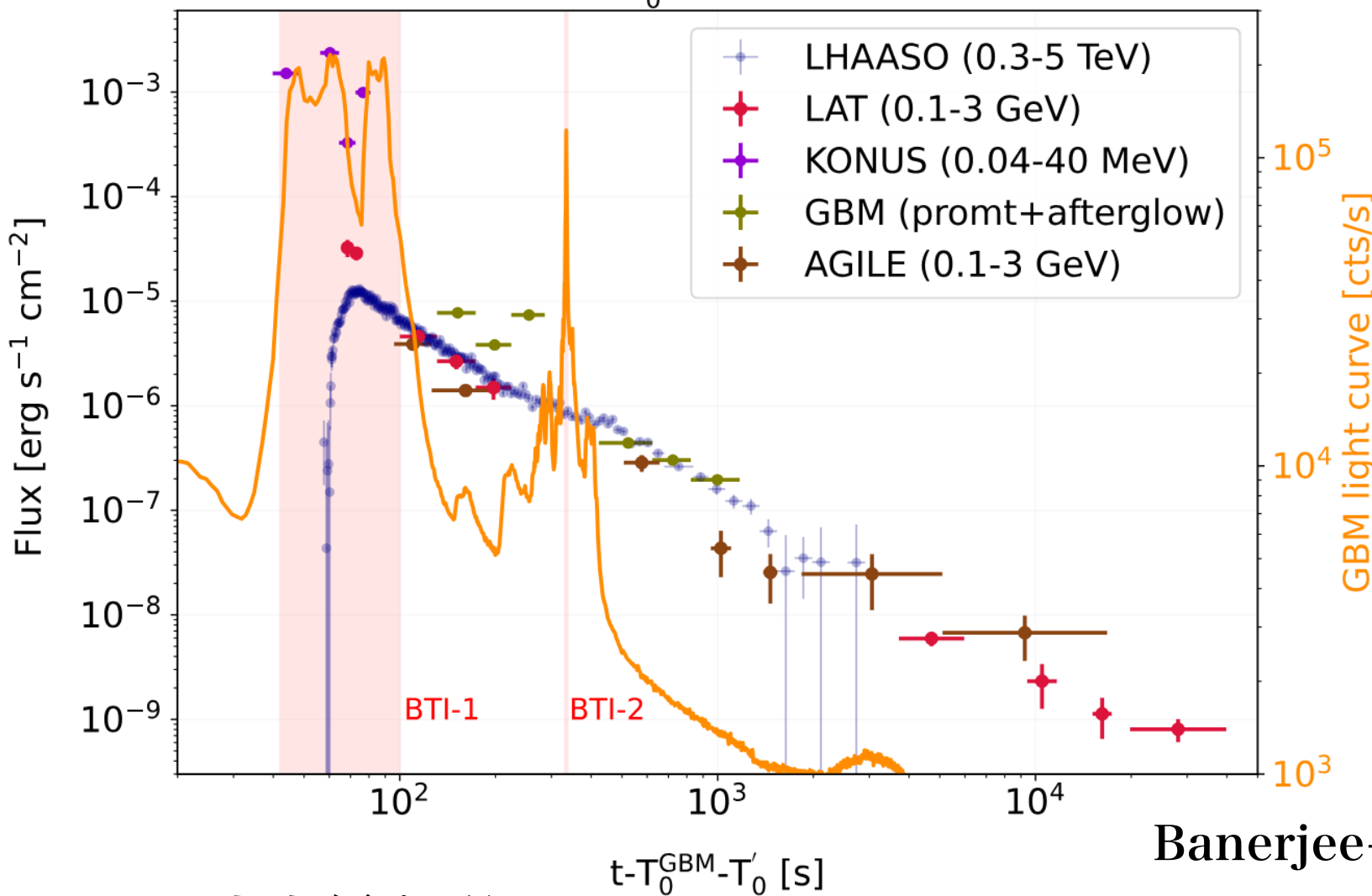
241112 高エネルギー現象で探る宇宙の多様性IV





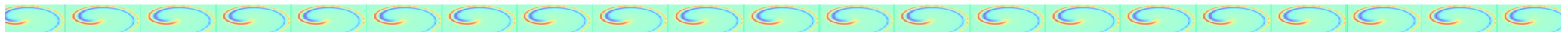
GRB 221009A: Motivation of this study

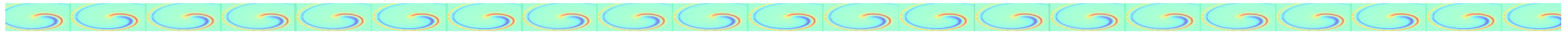
$$T'_0 = 177 \text{ s}$$



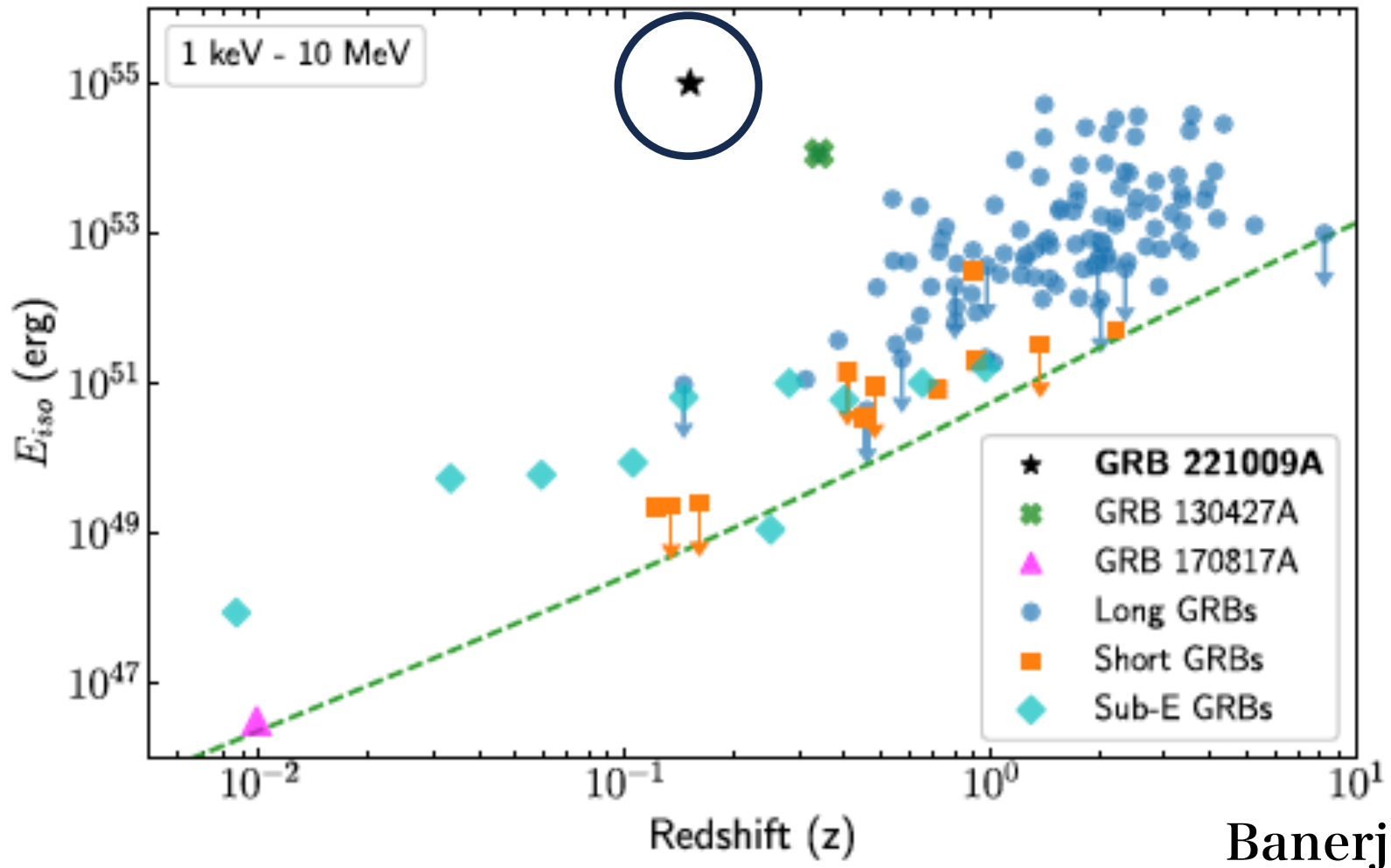
史上最も明るい long GRB

- $L_{\gamma, \text{iso}} \simeq 10^{54} \text{ erg/s}$, $E_{\gamma, \text{iso}} = 10^{55} \text{ erg}$
- $z = 0.151$





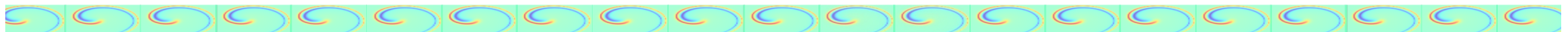
GRB 221009A: Brightest Of All Time

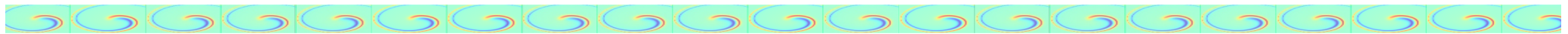


Banerjee+2024

史上最も明るいlong GRB

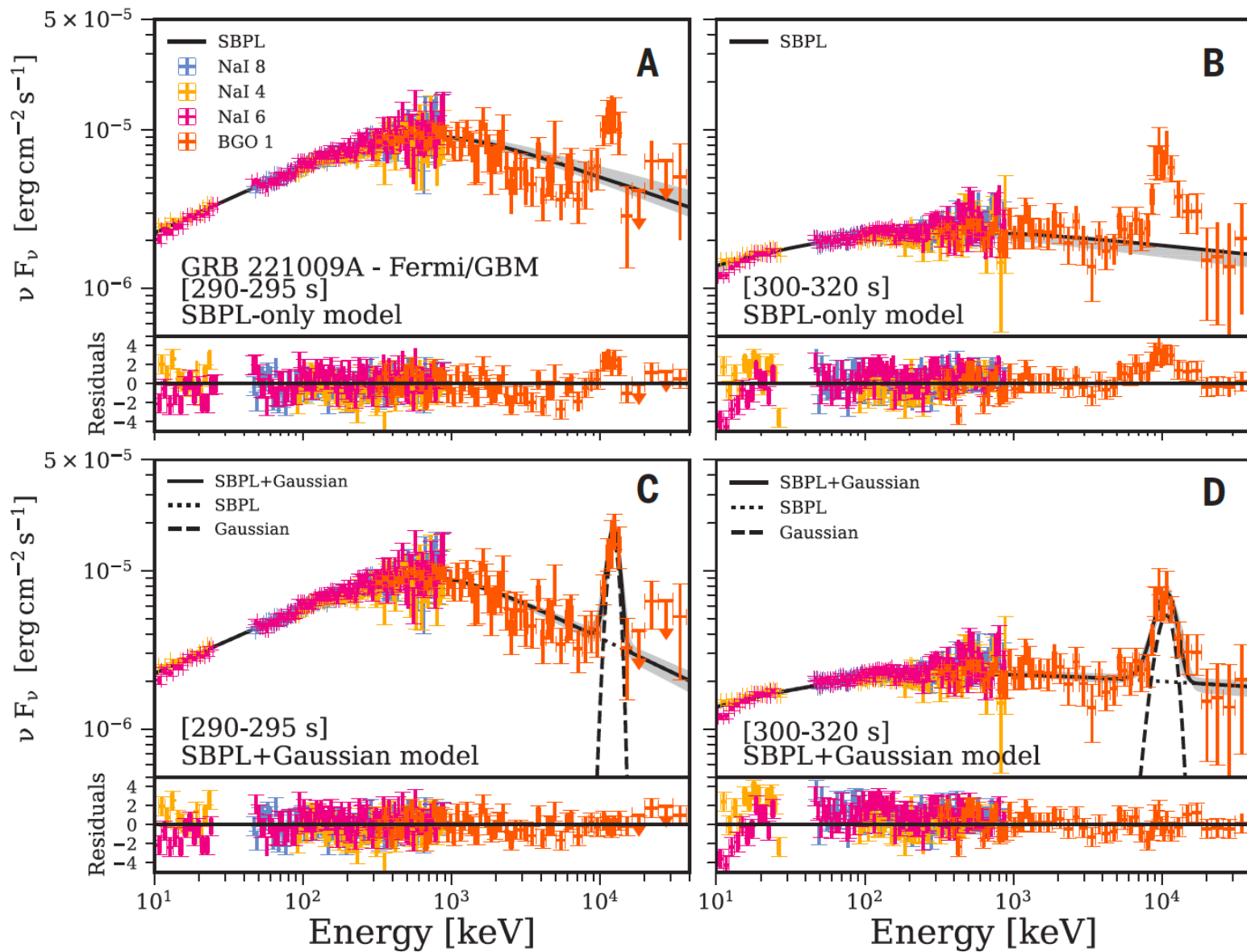
- $L_{\gamma,iso} \simeq 10^{54} \text{ erg/s}$, $E_{\gamma,iso} = 10^{55} \text{ erg}$
- $z = 0.151$





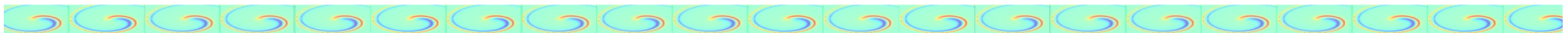
MeV line emission

Ravasio+ 2023 science



ガンマ線スペクトルにMeV lineが見えている。
- $L_{line,iso} \simeq 10^{50}$ erg/s $\sim 10^{-5} L_{iso}$





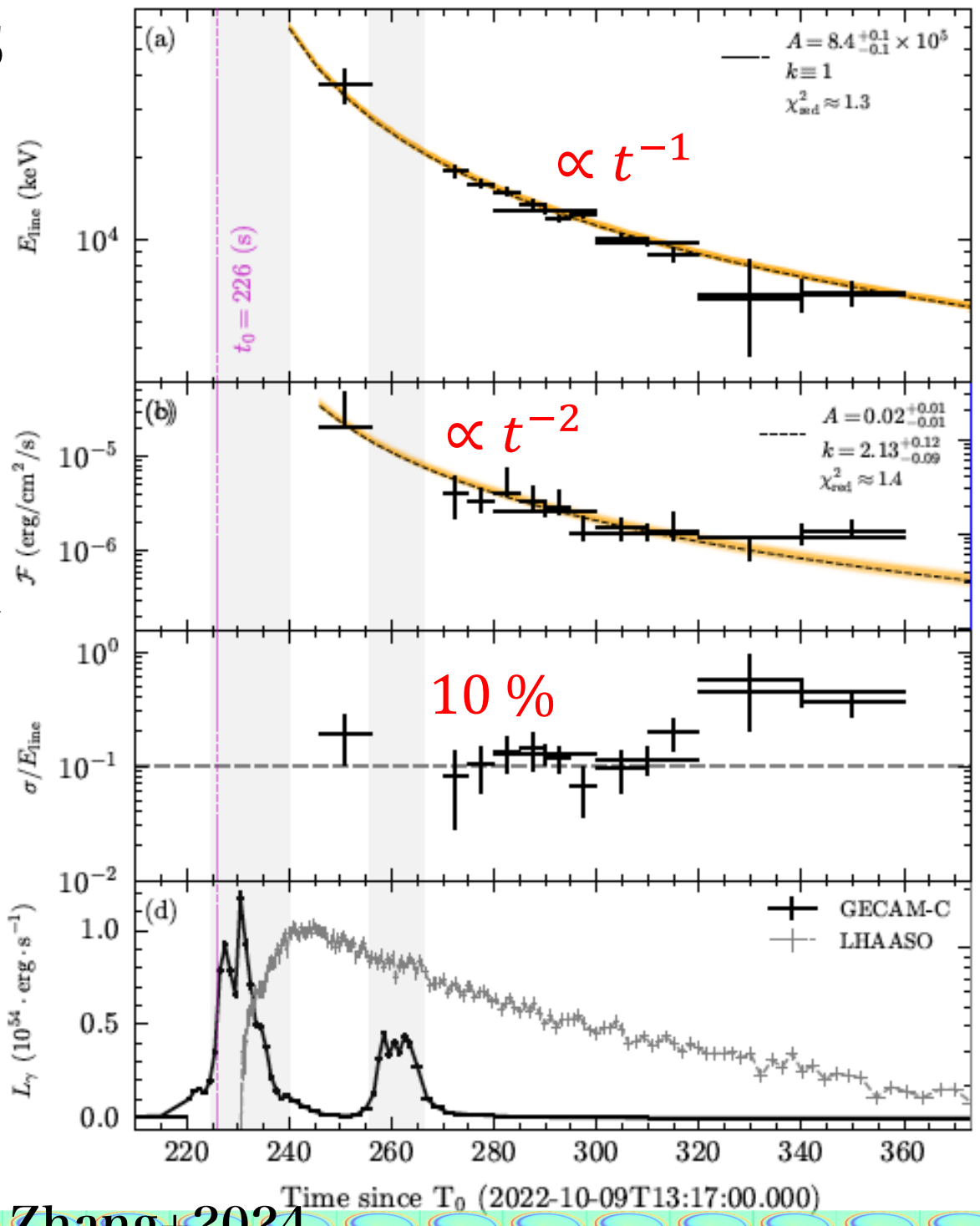
MeV line scenarios

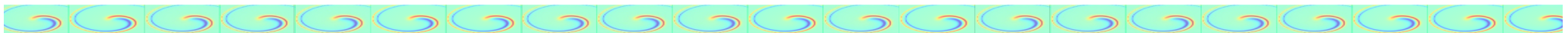
MeVのLineが見えていて

- 中心の時間進化
- スペクトル幅
- 幅の時間進化

Scenarios

- High-latitude emission
- 重元素のライン
- $np \rightarrow D\gamma$ のライン
- Fireball における対消滅





MeV line scenarios

MeVのLineが見えていて

- 中心の時間進化
- スペクトル幅
- 幅の時間進化

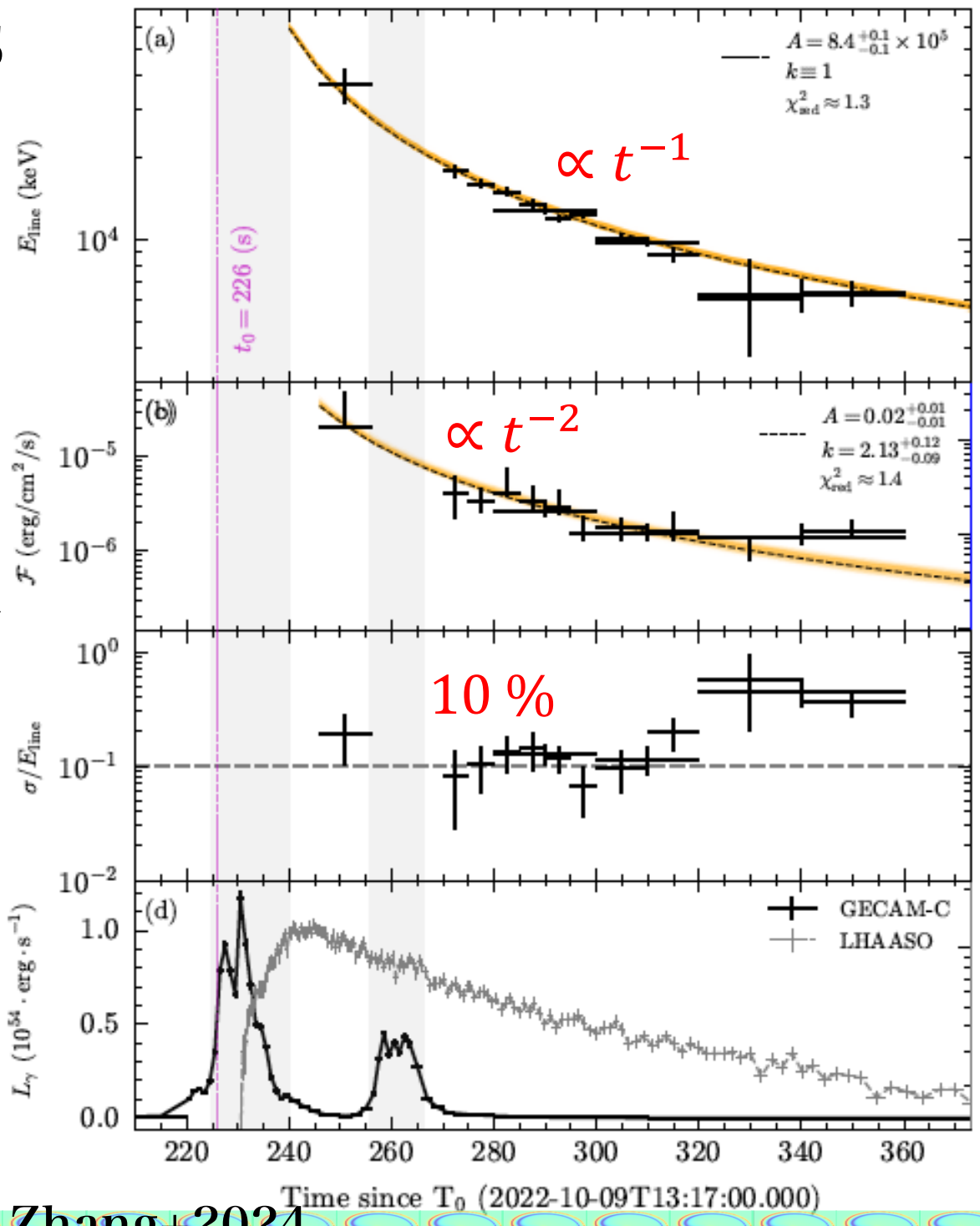
Scenarios

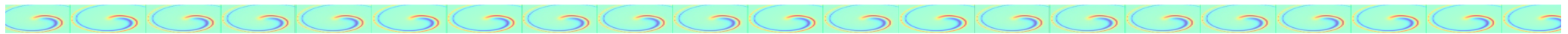
- High-latitude emission
- 重元素のライン
- $np \rightarrow D\gamma$ のライン
- Fireball における対消滅

Non-dissipative Fireball

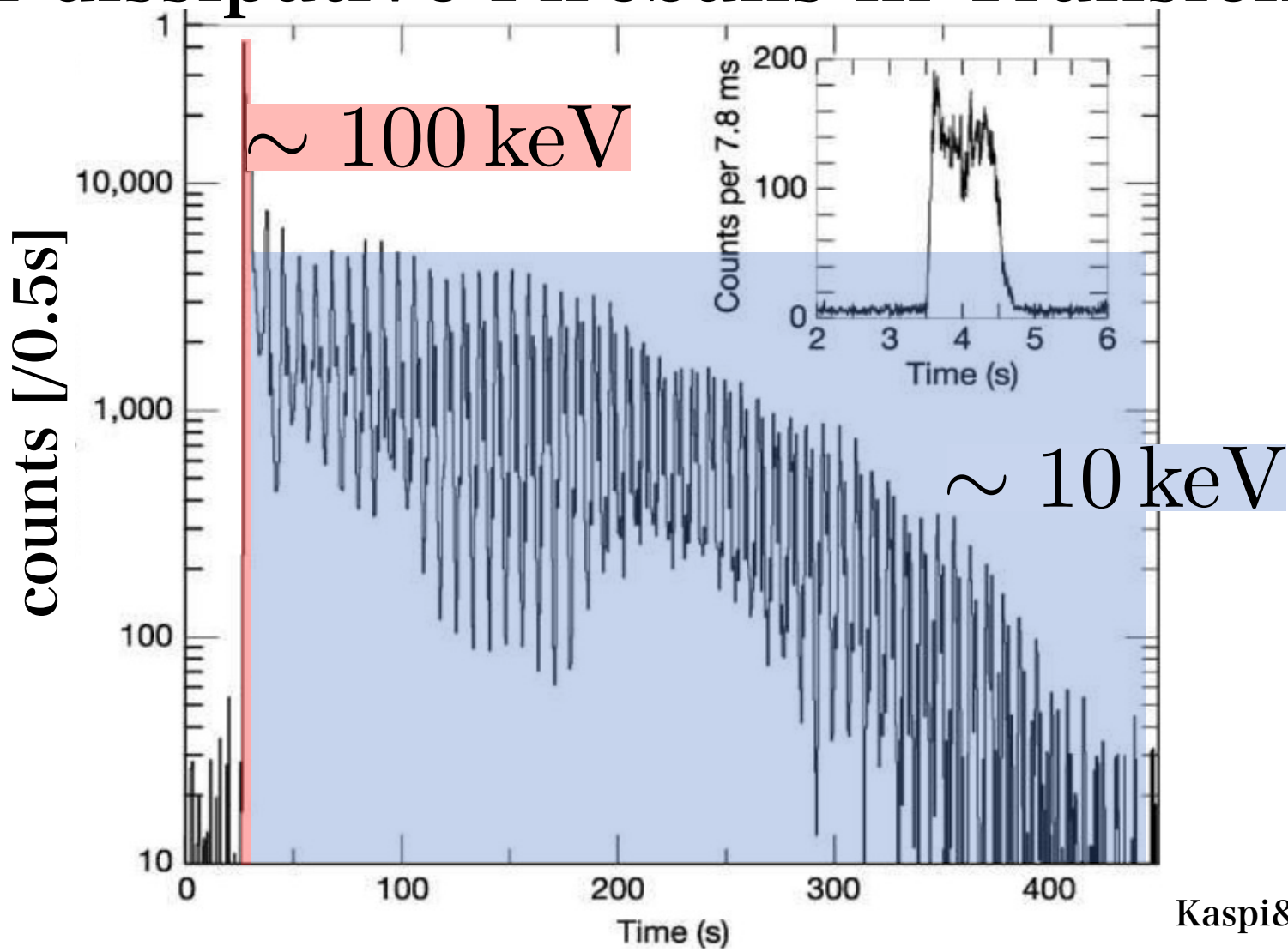
$$L_{line,iso} \sim \tau_{\gamma\gamma} m_e c^3 n_{\pm} r^2 \Gamma^2 \sim 10^{-8} L_{iso}$$

c.f. obs: $L_{line,iso} \sim 10^{-5} L_{iso}$





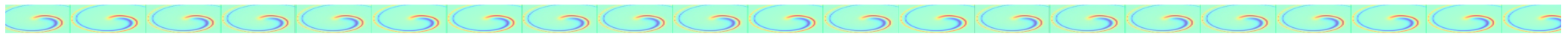
Non-dissipative Fireballs in Transients



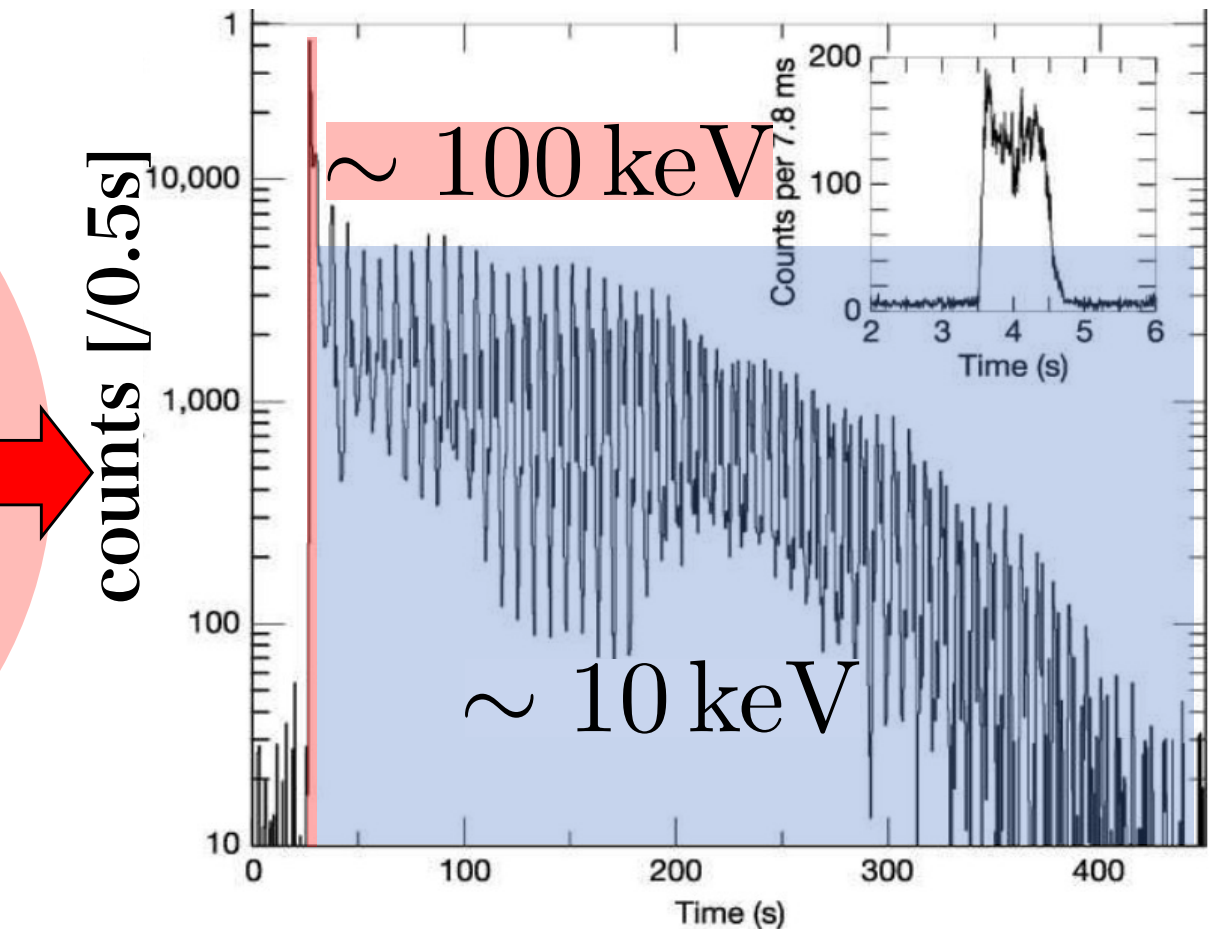
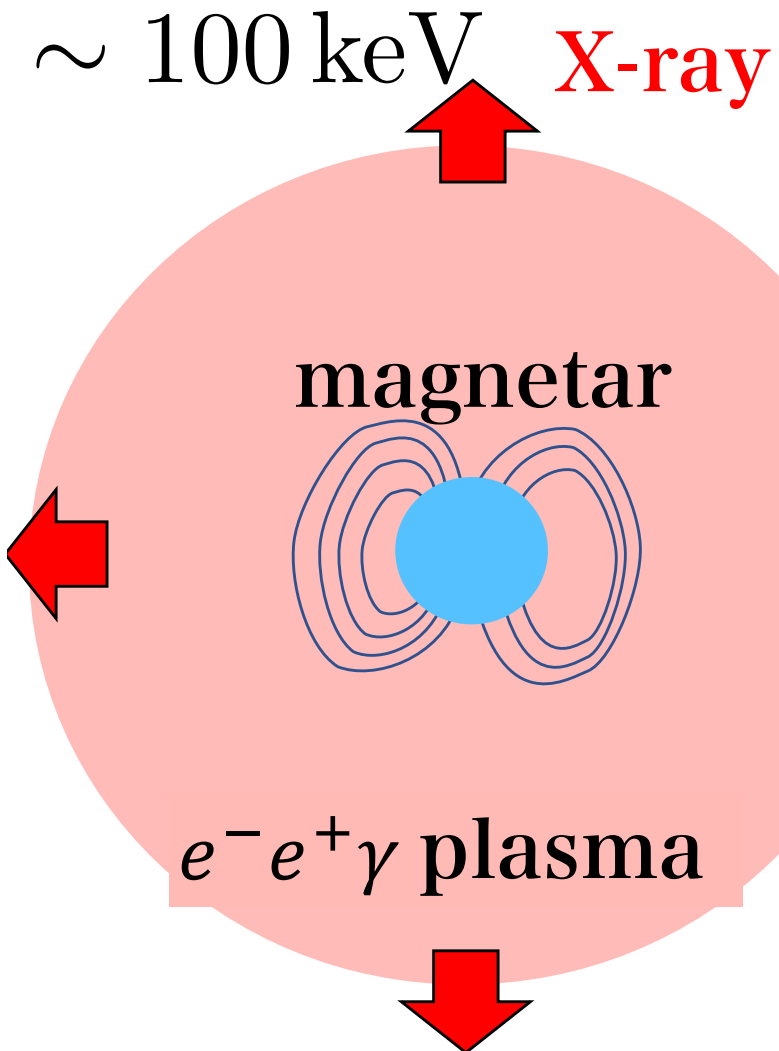
Magnetar Giant Flare

- Luminous X-ray bursts: $L_{\text{peak}} \sim 10^{44} - 10^{47} \text{ erg s}^{-1}$
- Hard spike + pulsating tail



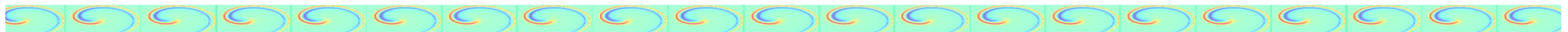


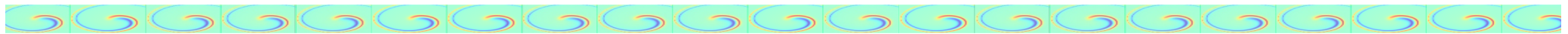
Magnetar Giant Flare: Initial Spike



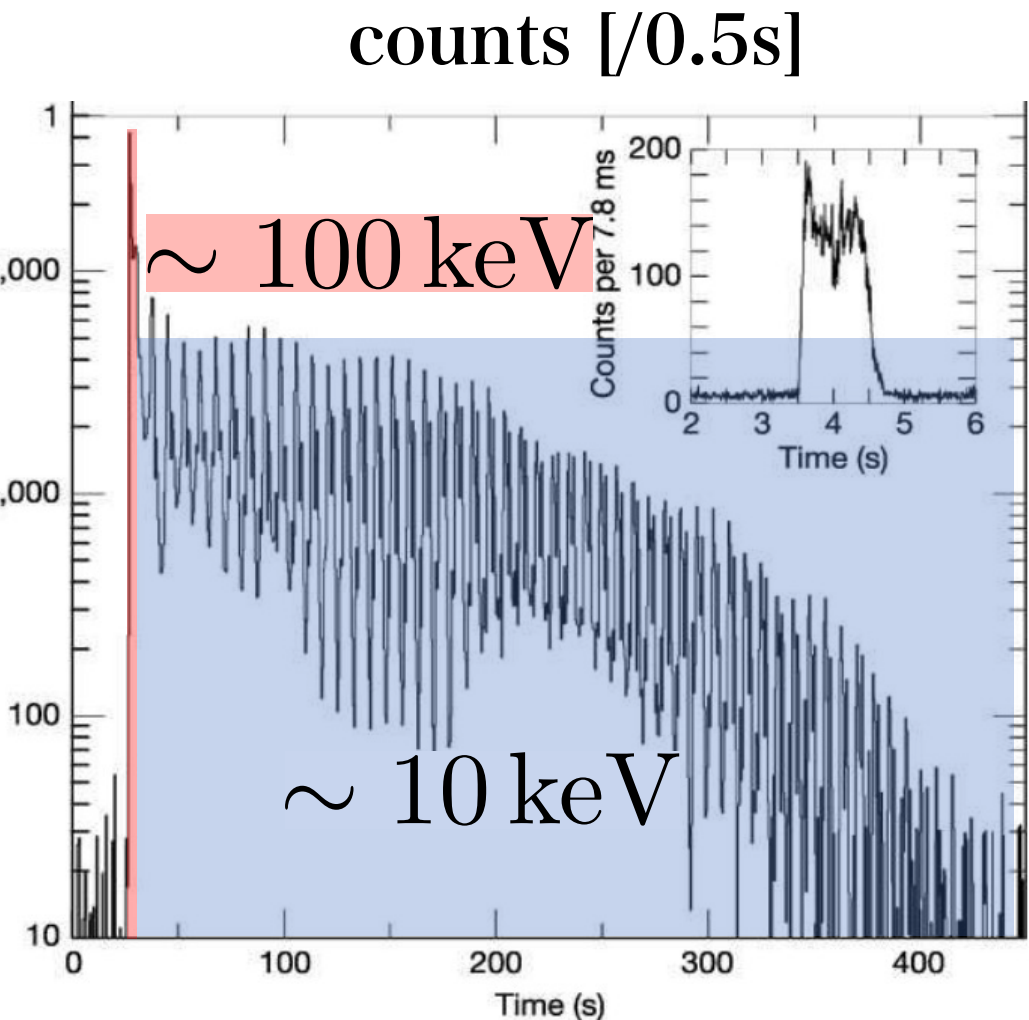
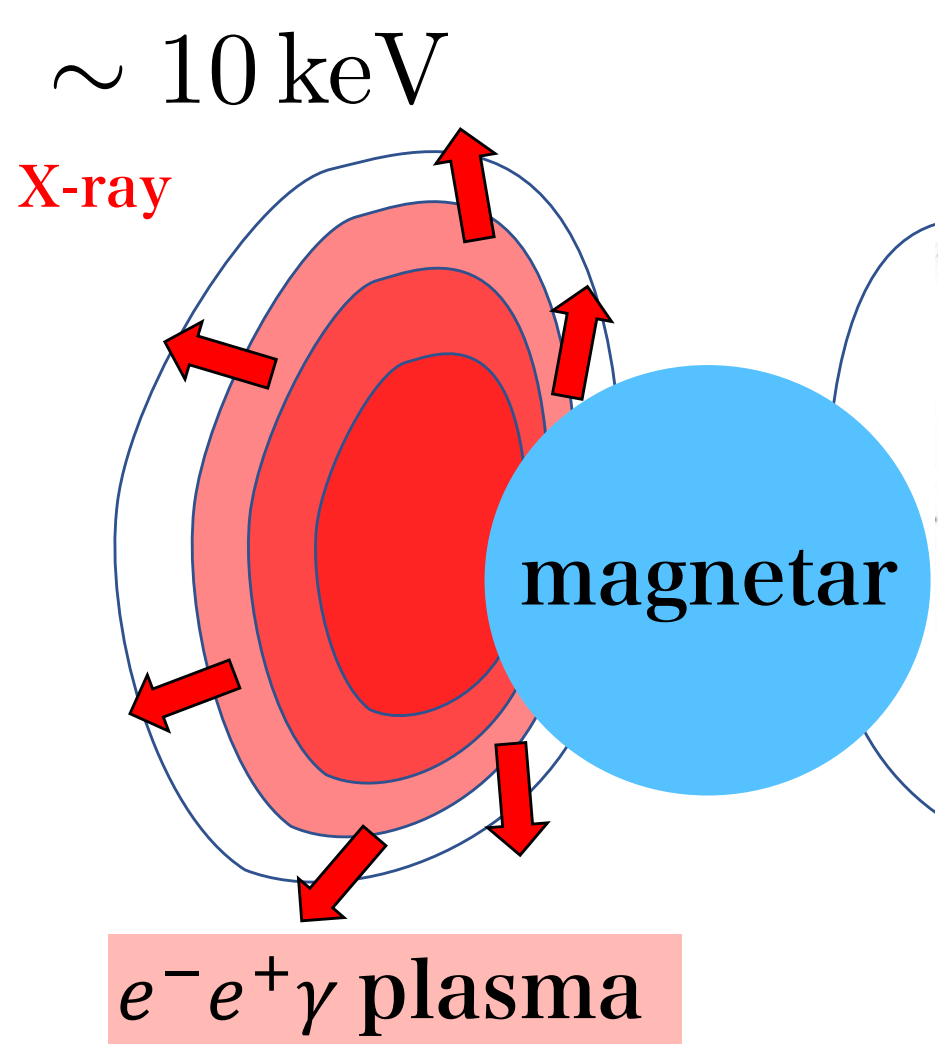
Kaspi&Beloborodov17

Initial Spike: Expanding Fireball





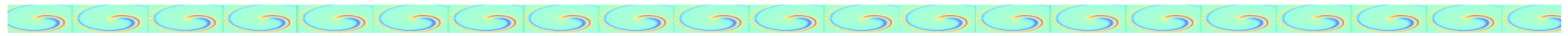
Magnetar Giant Flare: Pulsating Tail



Kaspi&Beloborodov17

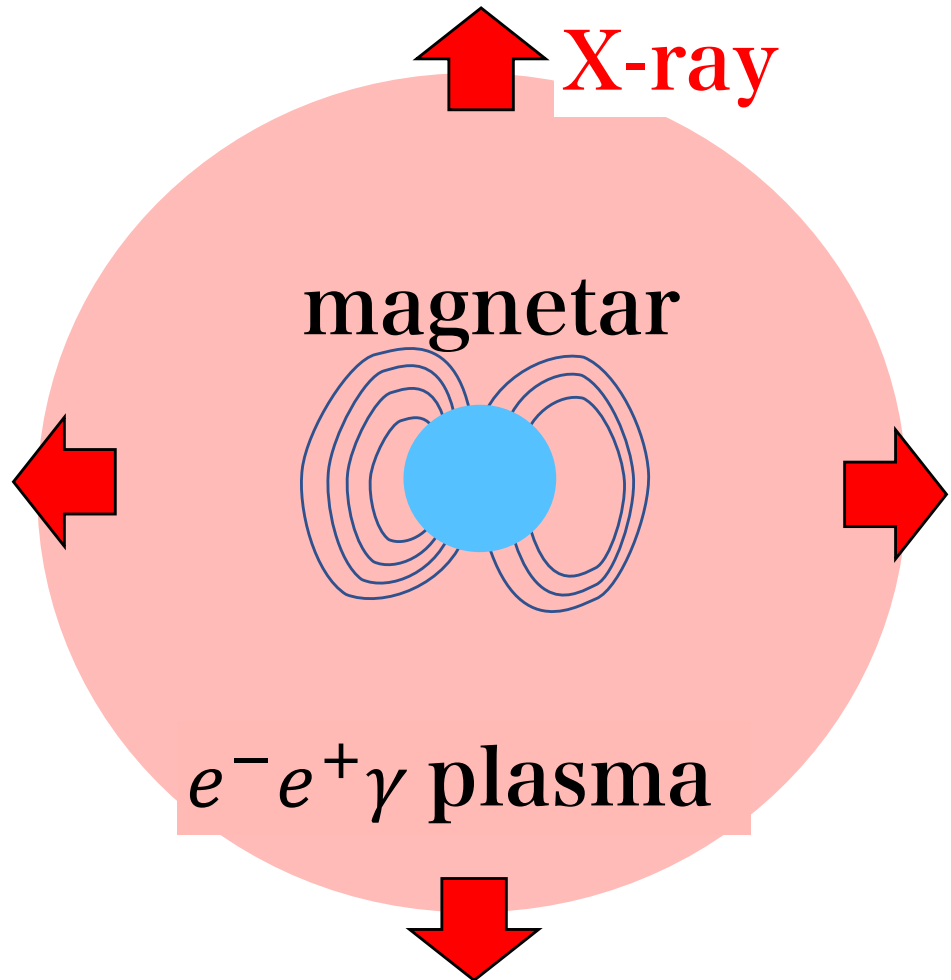
Pulsating Tail: Trapped Fireball



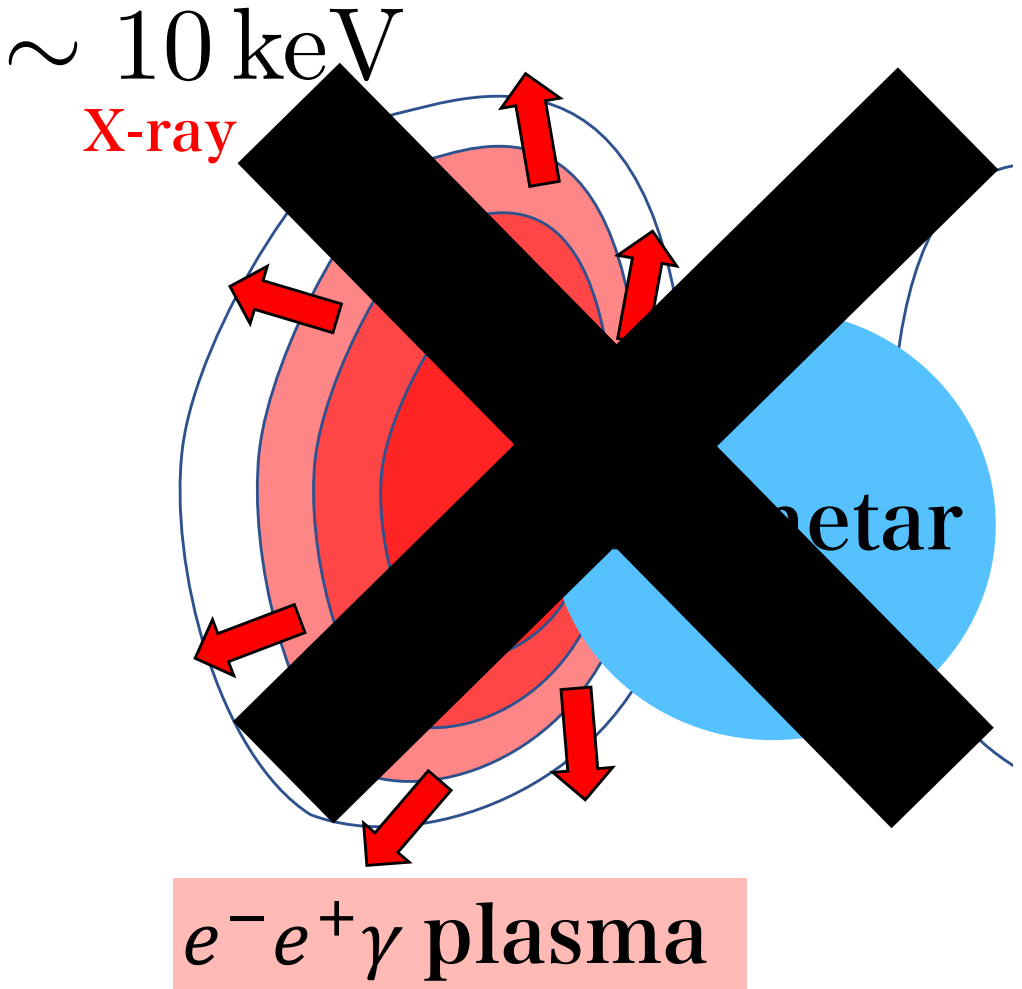


Line Emission from Magnetar Giant Flare

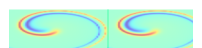
Initial spike

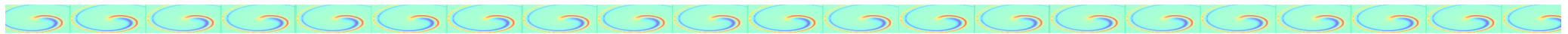


Pulsating tail



マグネターのフレアのinitial spikeにおける
電子陽電子対消滅ラインはどの様に見えるか





Dynamics of Expanding Fireball

- Fireballの解析解
パラメータ: L_{iso} , r_0
- ローレンツ因子 Γ , 温度 T , 電子陽電子数密度 n_{\pm}
@ $r < r_{ann}$

$$\Gamma = \bar{r},$$

$$T = T_0 \bar{r}^{-1},$$

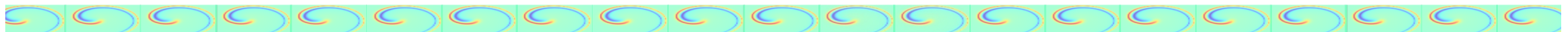
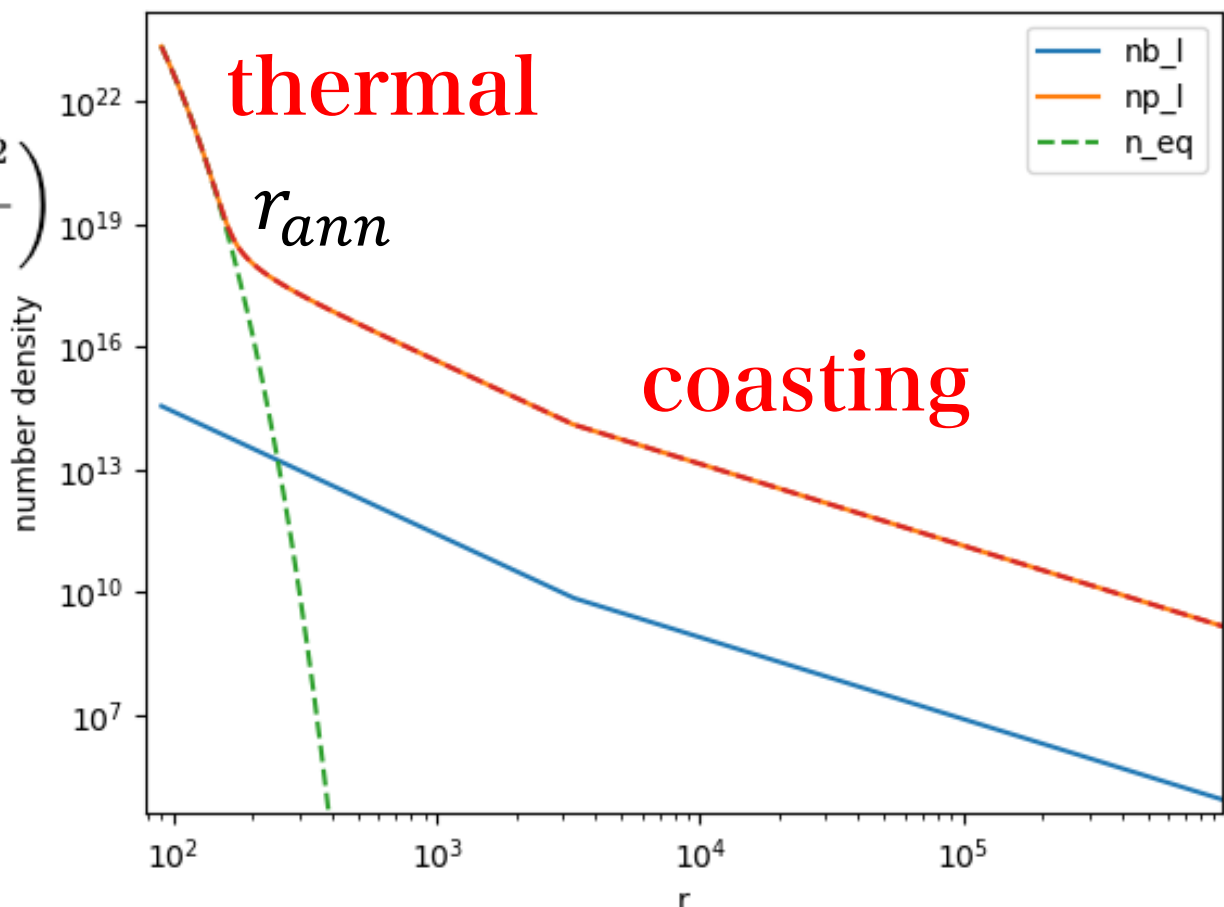
$$n_{\pm} = 4 \left(\frac{mT}{2\pi\hbar^2} \right)^{3/2} \exp \left(-\frac{mc^2}{T} \right)$$

- @ $r > r_{ann}$

$$n_{\pm} = n_{\pm, ann} \frac{\Gamma_{ann} r_{ann}^2}{\Gamma r^2}$$

- @ $r > r_{sat}$

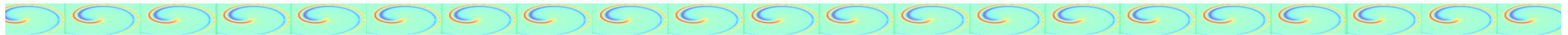
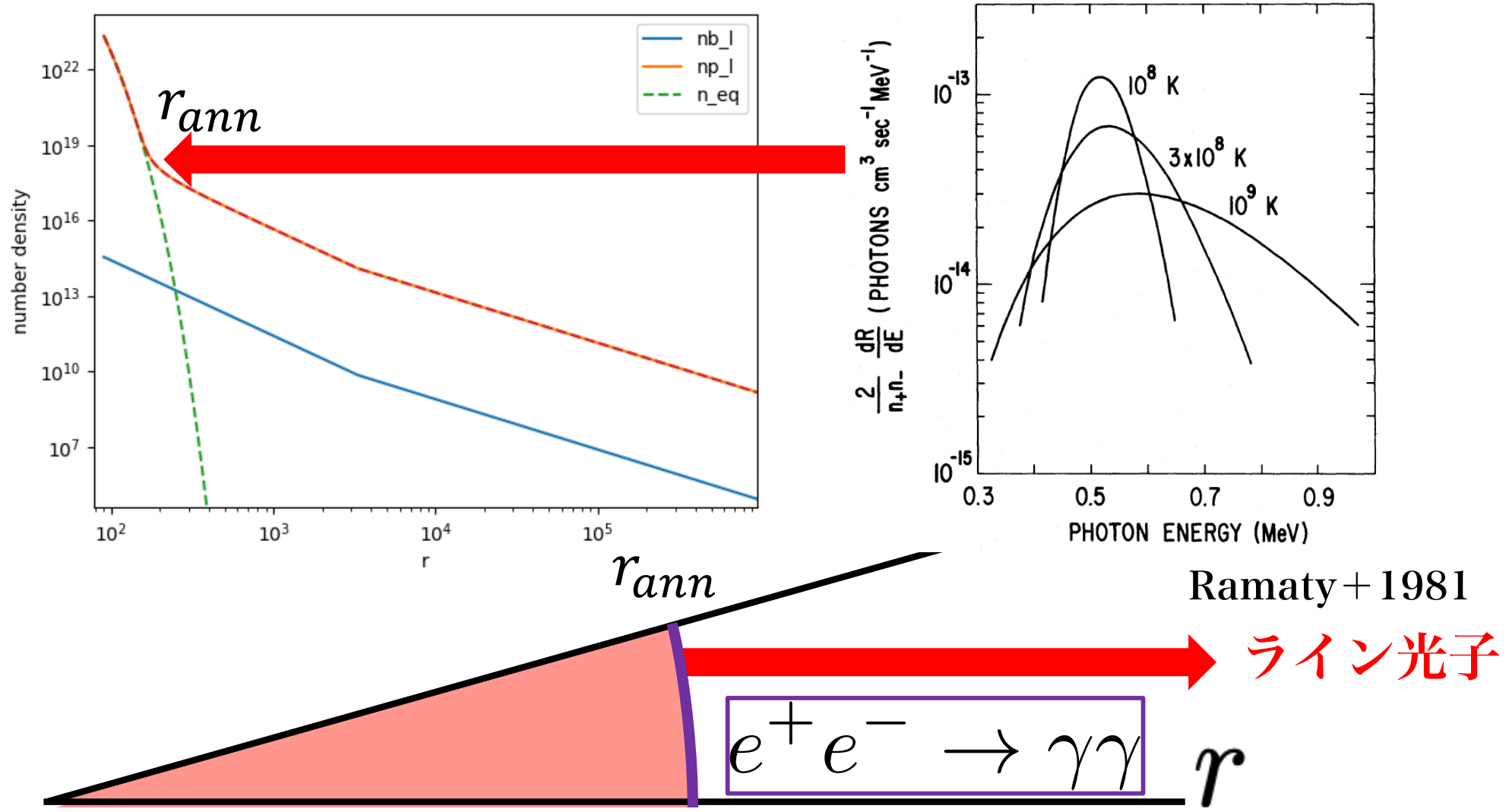
$$\Gamma = \bar{r}_{sat} = \left(\frac{L_{iso} \sigma_T}{4\pi m c^3 r_0} \right)^{1/4}$$

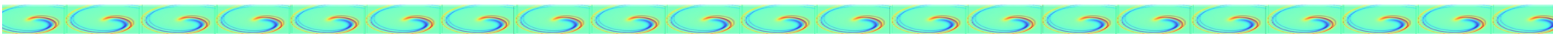




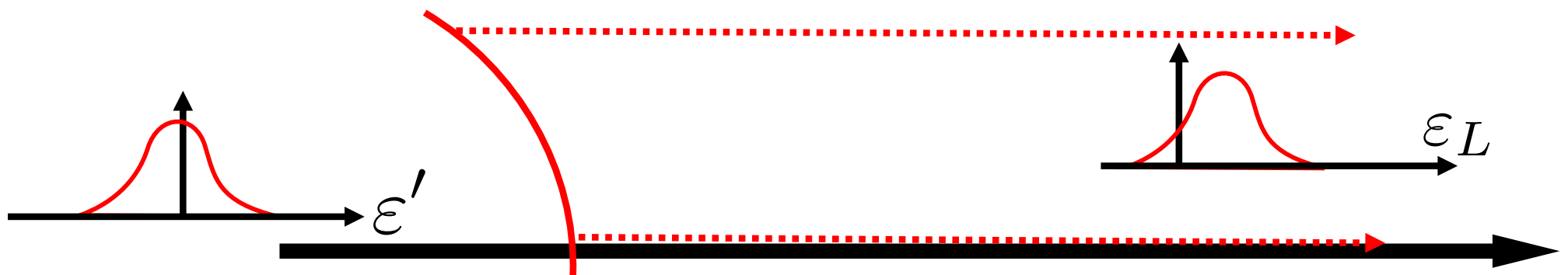
Pair annihilation line in fireball

光学的に厚い電子・陽電子プラズマが膨張・冷却
→ 対消滅に伴って511keVの光子放射





Analytic modeling (single shell)



- ある半径で共動系でGaussian lineを仮定

$$\mathcal{F}(\varepsilon) = \frac{F_0}{\sqrt{2\pi\sigma^2}} \exp\left[-\frac{(\varepsilon/\bar{\varepsilon} - 1)^2}{2\sigma^2}\right]$$

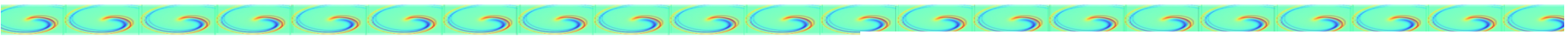
- 観測するフラックスは各シェルの足し合わせ

$$\frac{dF_o}{d\varepsilon_o} = 2\pi c^{-2} \left(\frac{r}{D_l}\right)^2 \int d\mu \mu \varepsilon_o^3 \mathcal{F}(\varepsilon_o \Gamma(1 - \beta\mu)) \theta(\mu)$$

$$\begin{aligned} \frac{dF_o}{d\varepsilon_o} &= \frac{2\pi c^{-2}}{\sqrt{2\pi\sigma^2}} \left(\frac{r}{D_l}\right)^2 \frac{\bar{\varepsilon}}{\Gamma\beta^2} \varepsilon_o^2 F_0 \int_{\Delta x} dx \left[1 - \frac{\bar{\varepsilon}}{\varepsilon_o \Gamma}(x + 1)\right] \exp\left[\frac{-x^2}{2\sigma^2}\right] \\ &\propto \varepsilon_o^2 \end{aligned}$$
$$x = \frac{\varepsilon_o \Gamma(1 - \beta\mu)}{\bar{\varepsilon}} - 1$$

相対論的シェルからの放射を同時に観測すると、
「ビーミング効果だけで」 $F_v \propto v^2$ が実現される。

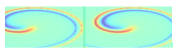
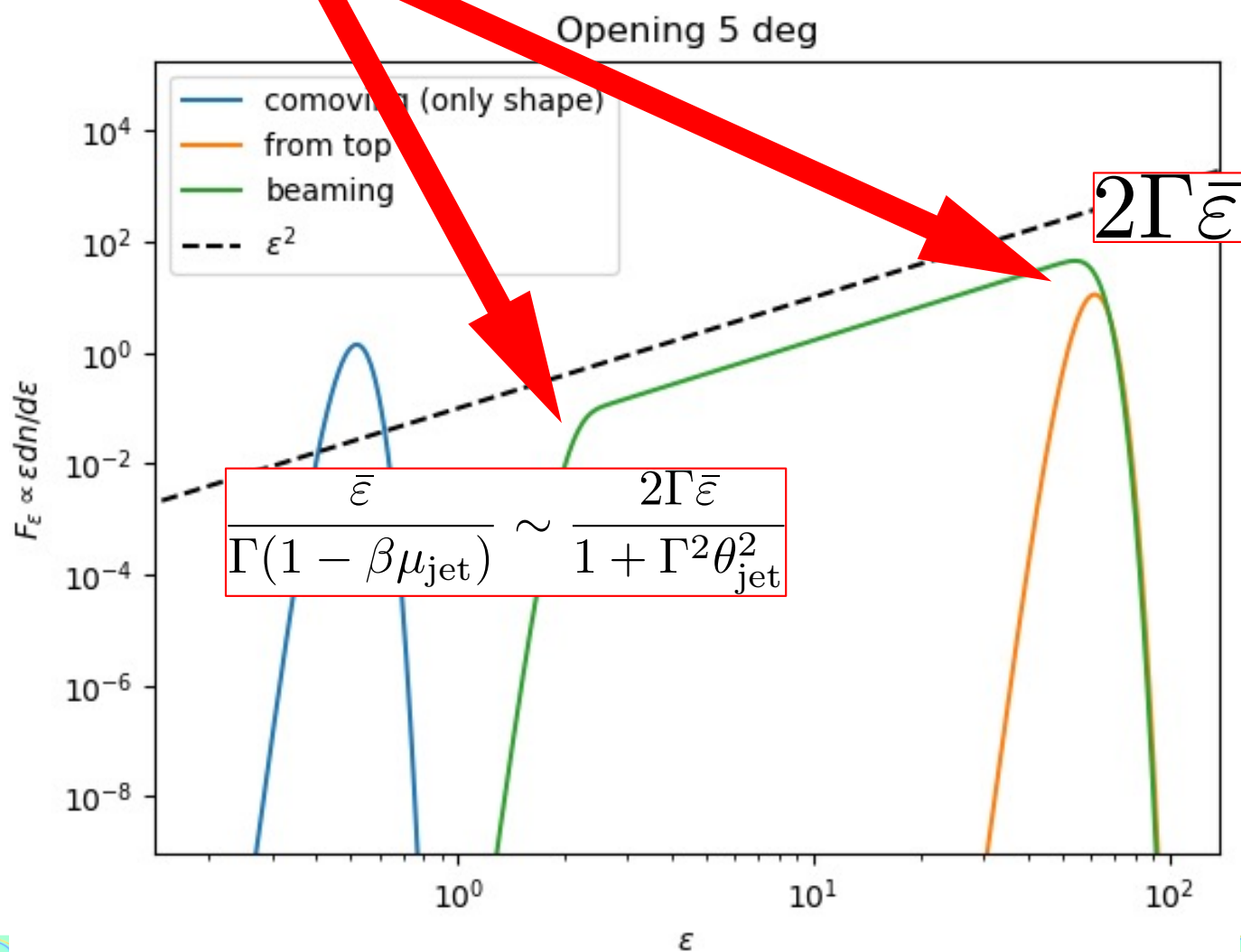
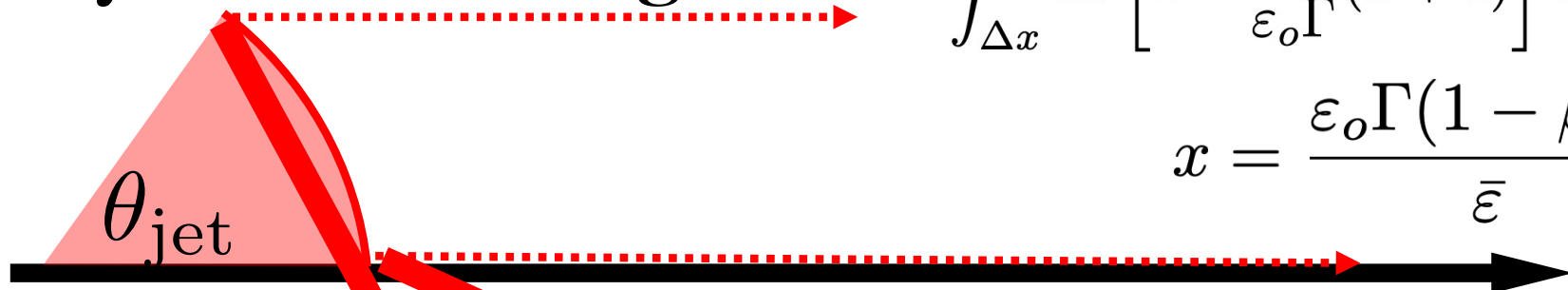


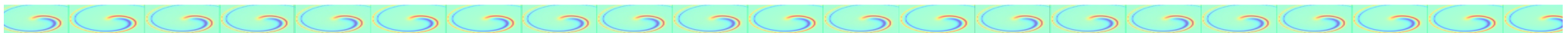


Analytic modeling

$$\int_{\Delta x} dx \left[1 - \frac{\bar{\varepsilon}}{\varepsilon_o \Gamma}(x+1) \right] \exp \left[\frac{-x^2}{2\sigma^2} \right]$$

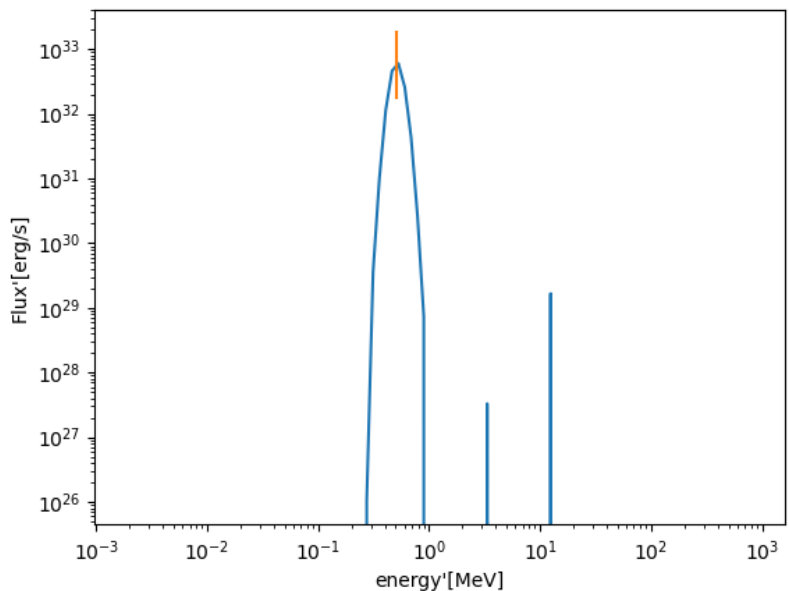
$$x = \frac{\varepsilon_o \Gamma(1-\beta\mu)}{\bar{\varepsilon}} - 1$$



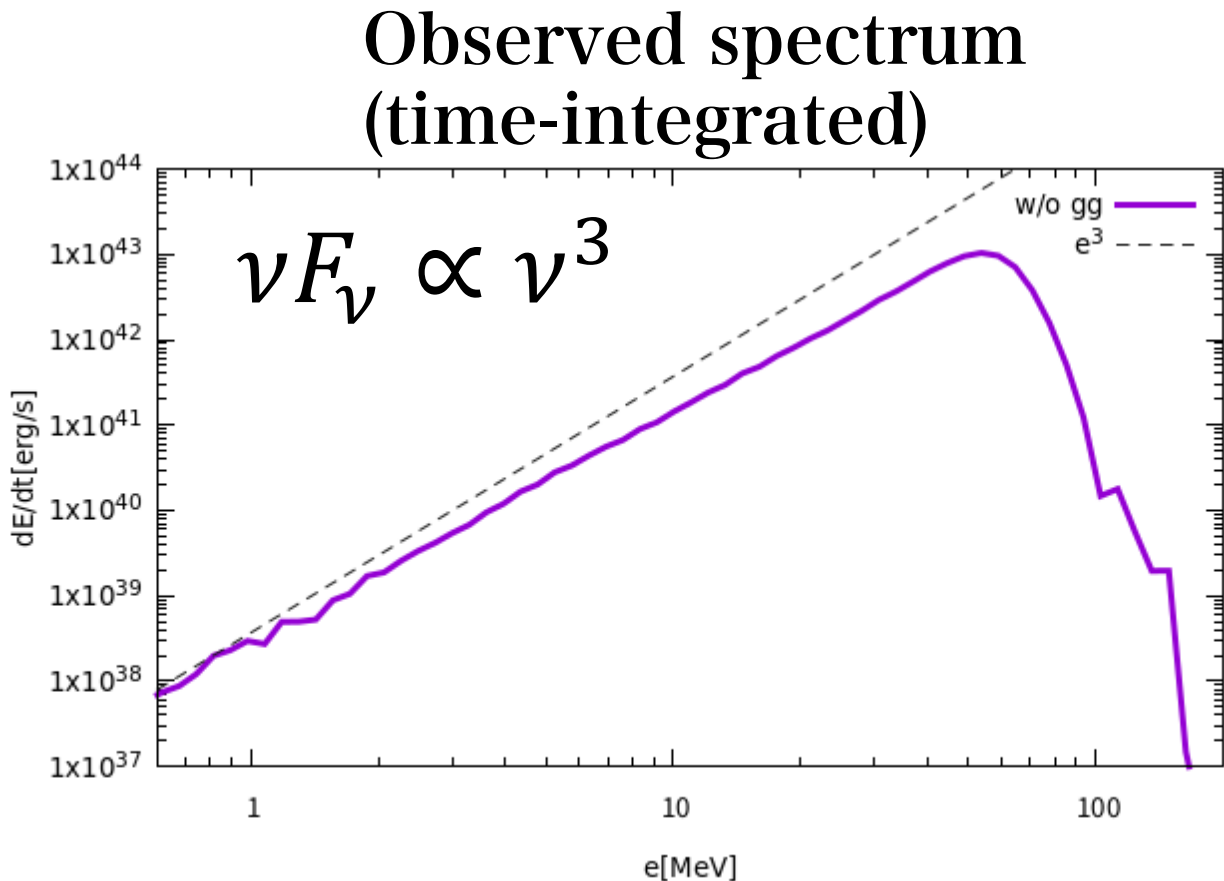


Spectrum (w/o pair annihilation)

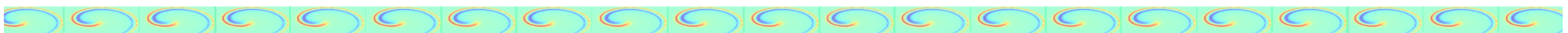
注入スペクトル
in comoving frame

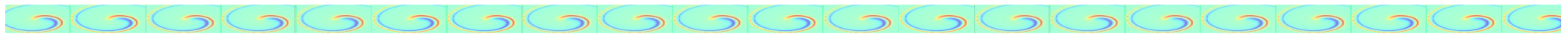


Observed spectrum
(time-integrated)

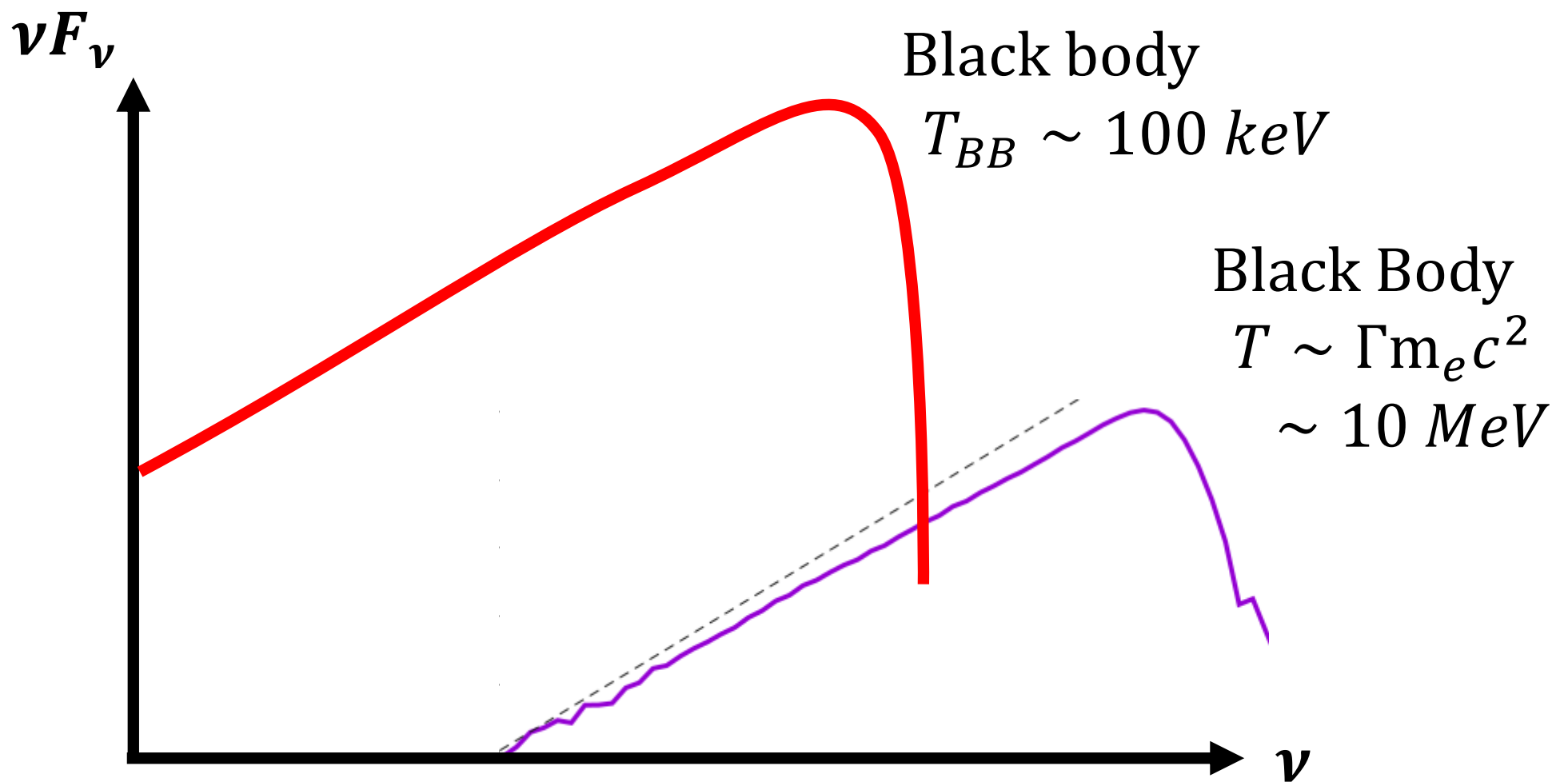


散乱のみを取り入れた場合のスペクトル
→ 注入はGaussianだが、観測されるのはべき分布
※fireballが小さいことによる

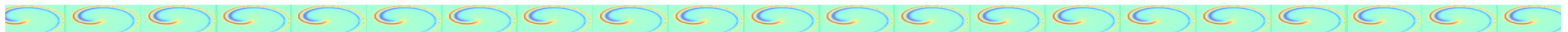


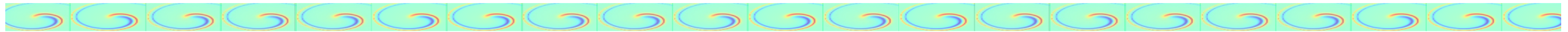


Spectrum Shape: Two-temperature BB?



Fireballの黒体輻射
+ Lineの黒体（と同じ形の）スペクトルが実現？





Pair annihilation

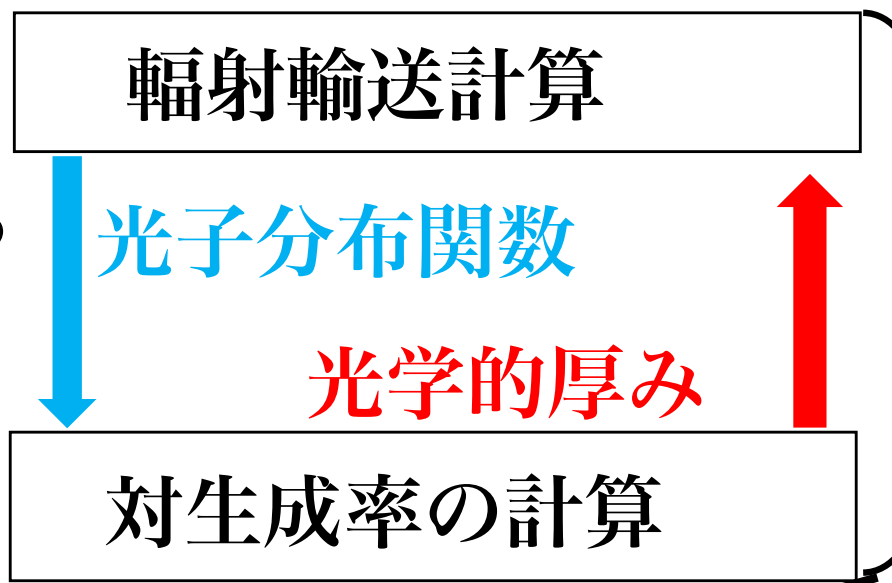
対生成の光学的厚み

$$\frac{d\tau_{\gamma\gamma}}{dl} = \Gamma(1 - \beta\mu_L) \int d^3 p' f_\gamma(p') \sigma_{\gamma\gamma} (1 - \mu'_{\gamma\gamma})$$

光子分布関数

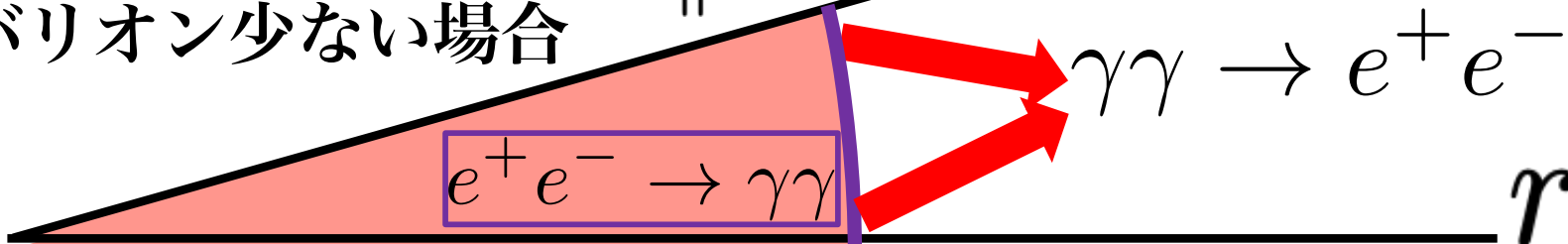
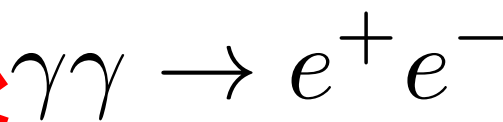


→ iterationで
収束先を求める



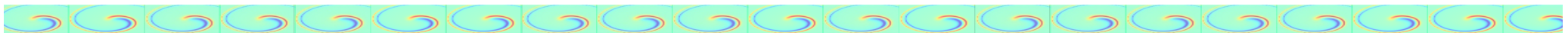
バリオン少ない場合

$$\tau_{||} \sim 1$$

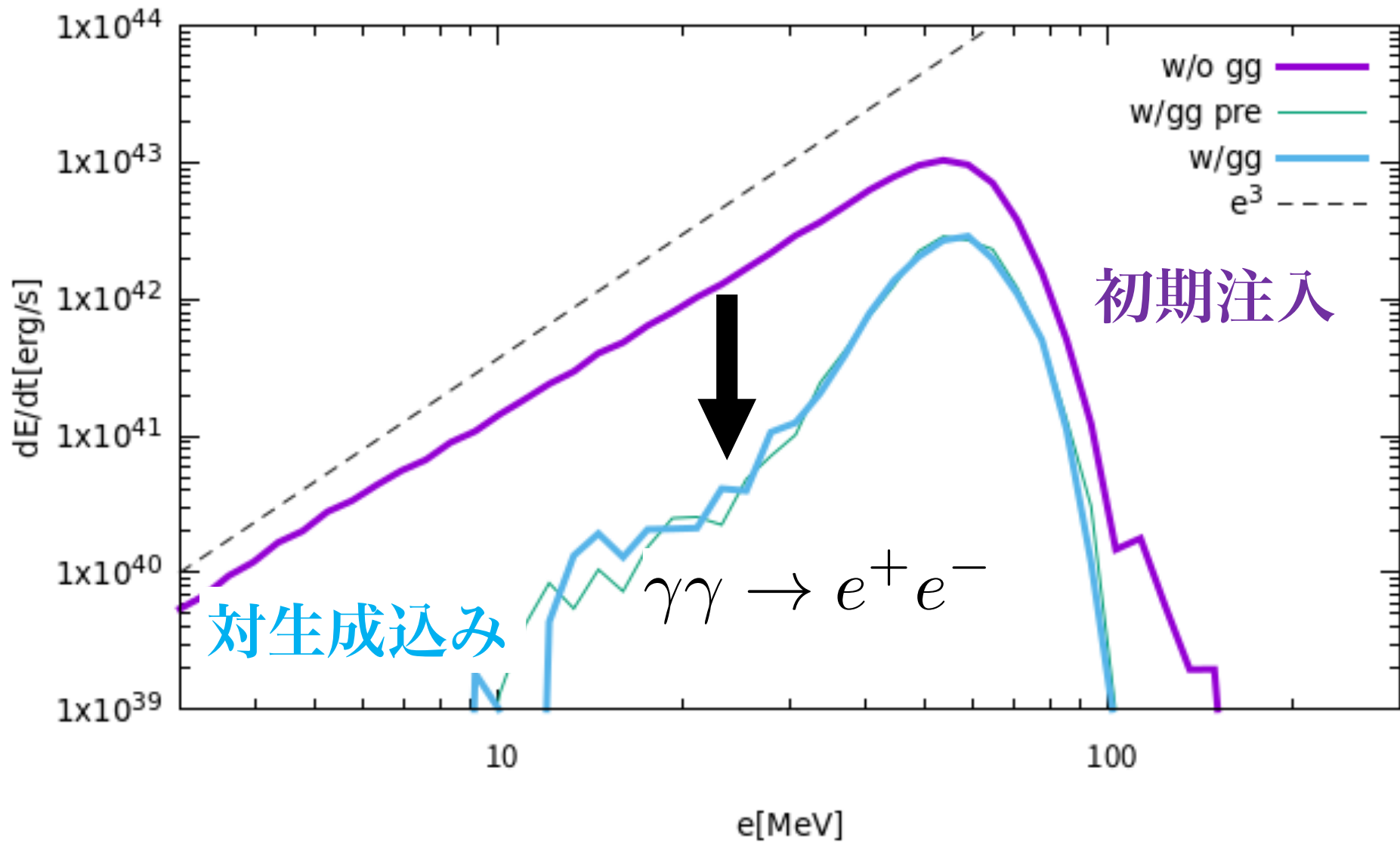


r



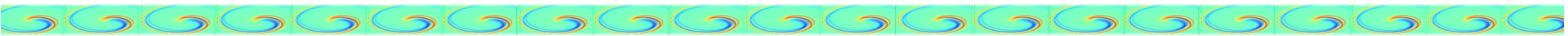


Spectrum w/pair creation

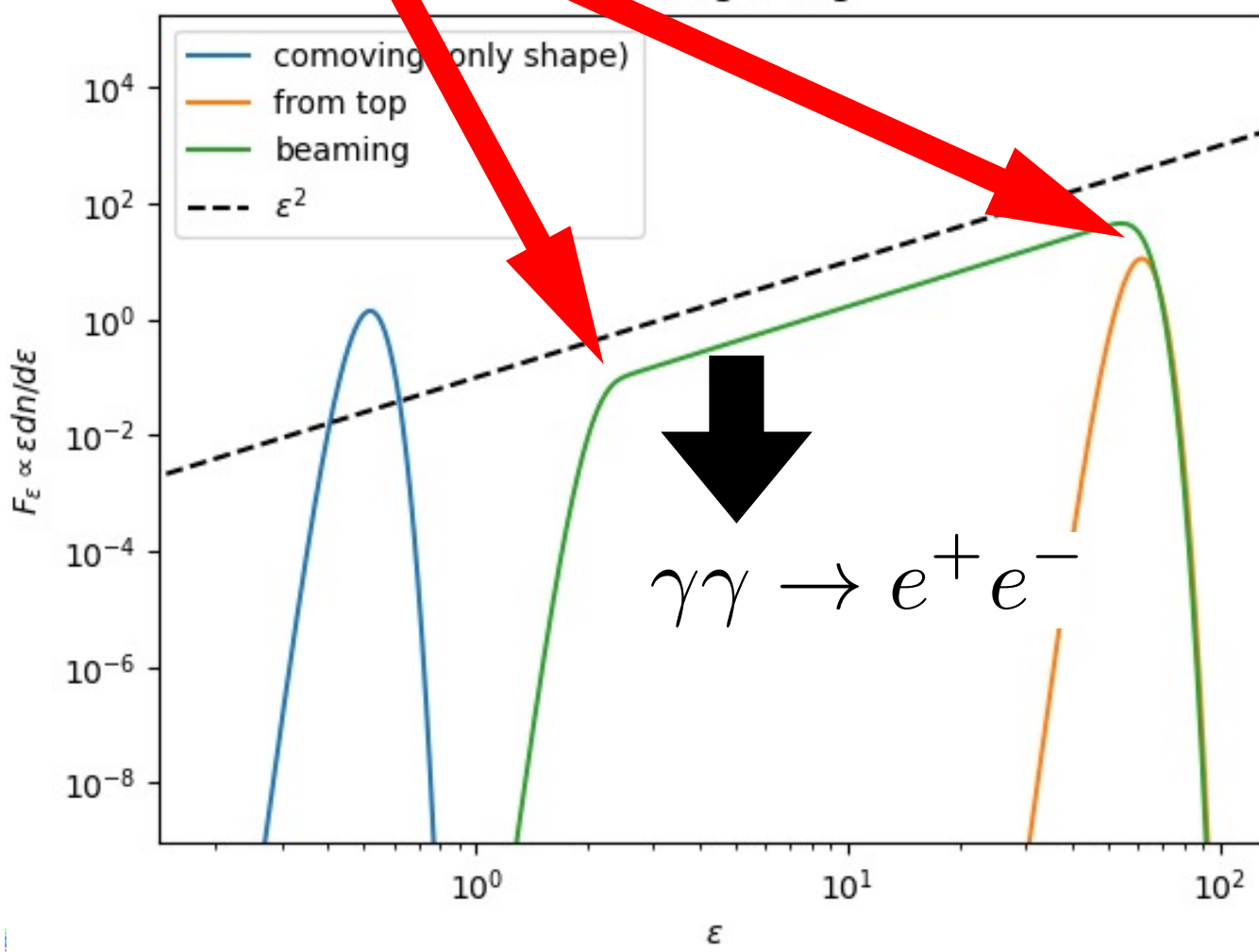
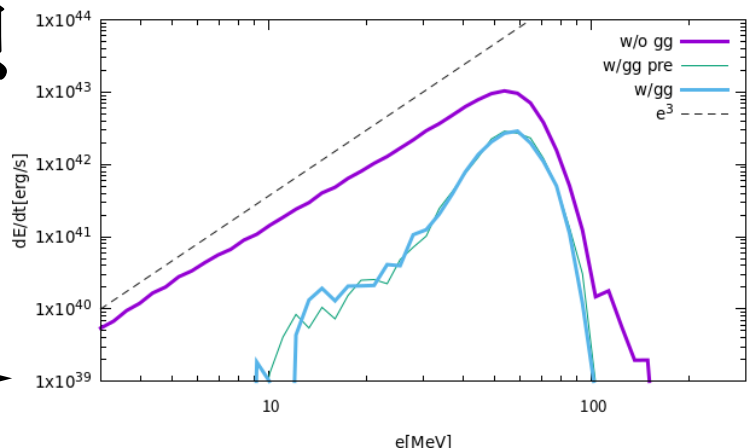
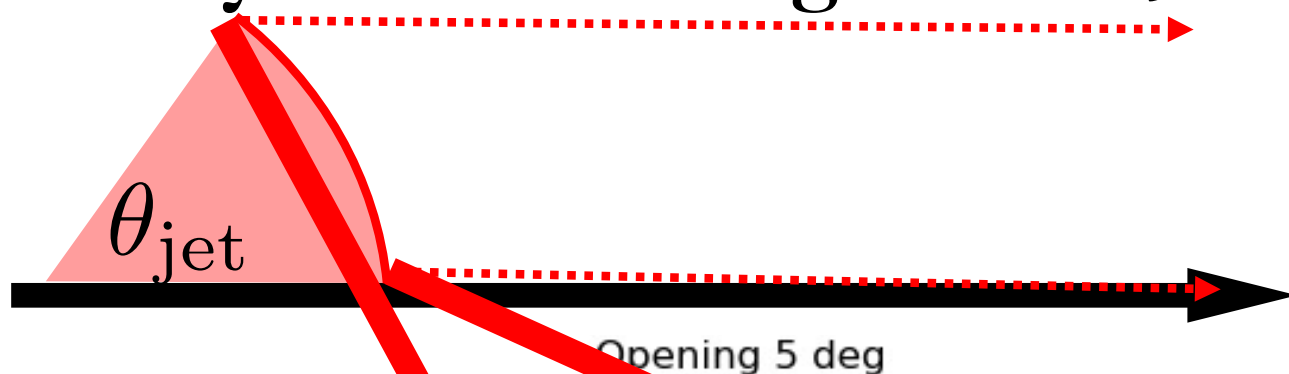


Gaussianのライン幅 ~ 0.2 c.f., obs ~0.1

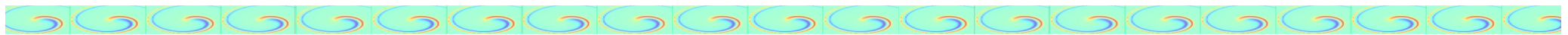




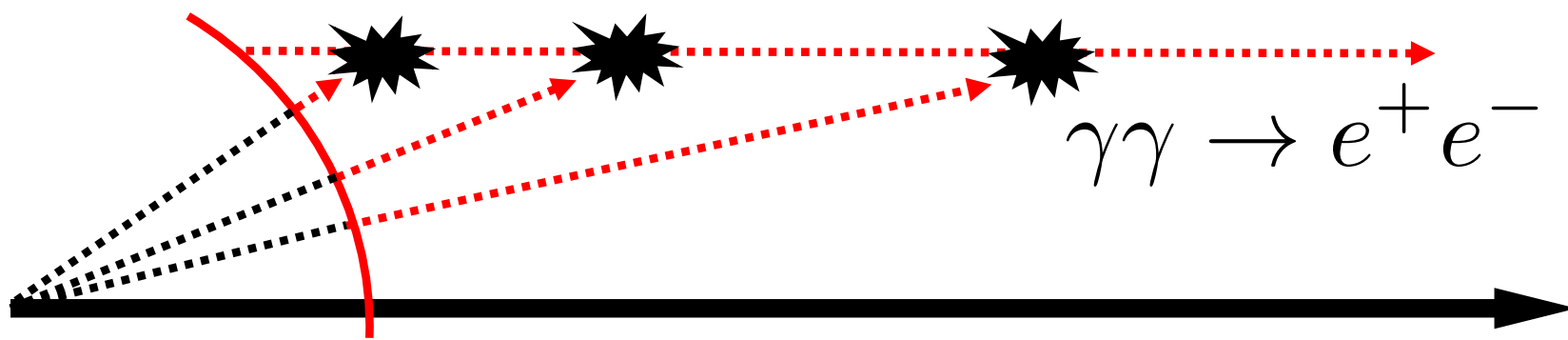
Analytic modelingからの予想



対生成で減っている
のは、High-
latitudeからの光子



Analytic model -- pair annihilation --



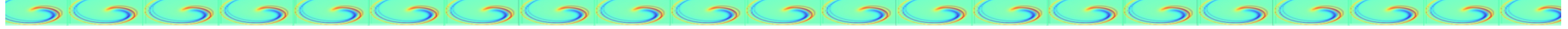
- 主に動径方向に伝搬する光子との対消滅を考える。
注入はシェルでデルタ関数的に入れる。

$$\begin{aligned}\frac{d\tau_{\gamma\gamma}}{dl} &= \Gamma(1 - \beta\mu_L) \int d^3 p' f_\gamma(p') \sigma_{\gamma\gamma} (1 - \mu'_{\gamma\gamma}) \\ &\simeq \Gamma(1 - \beta\mu) \left(\frac{\Gamma_{\text{em}}}{\Gamma}\right)^3 \frac{n_{\gamma,\text{em}} \sigma_T}{20} \Theta(\mu_{\text{crit}} - \mu)\end{aligned}$$

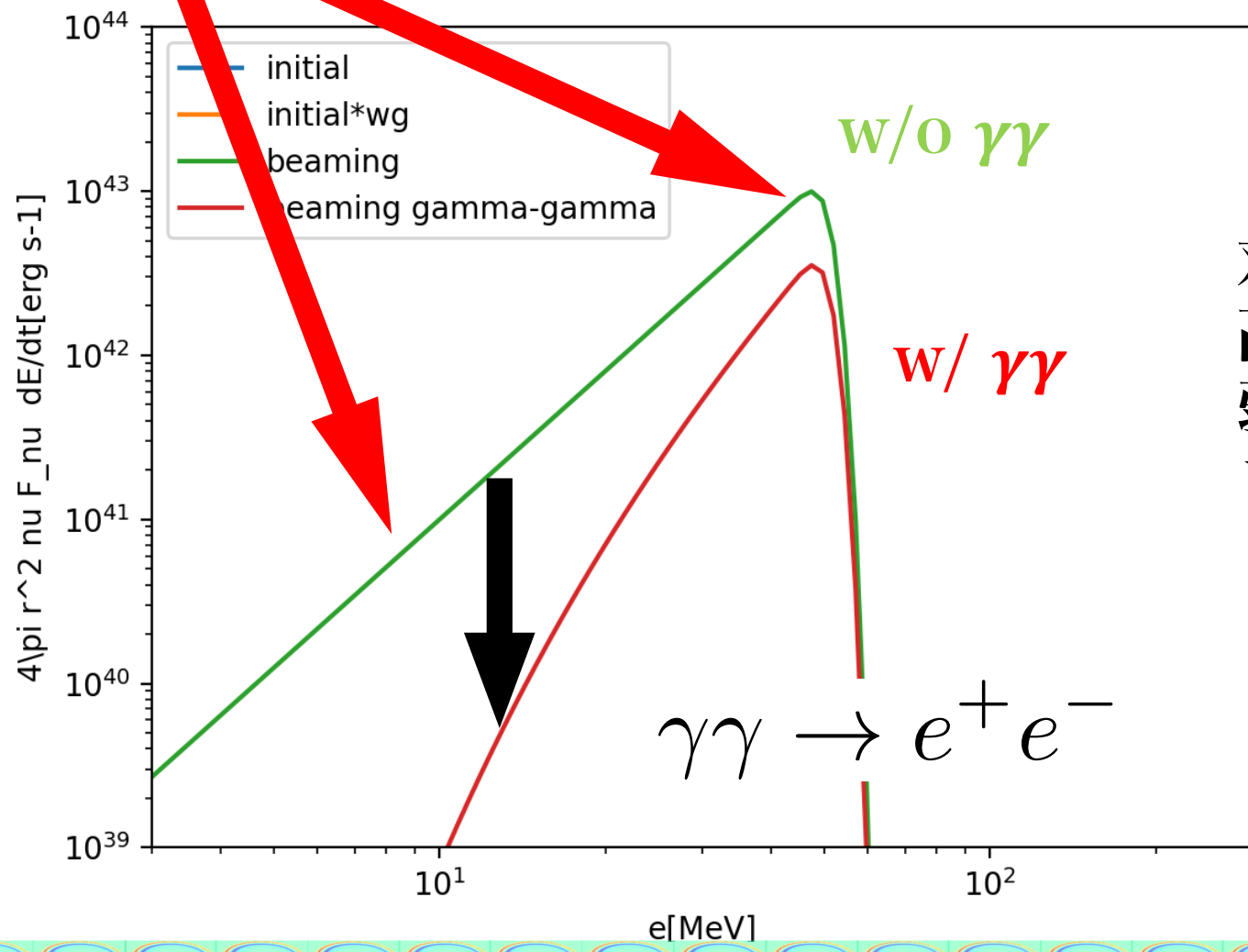
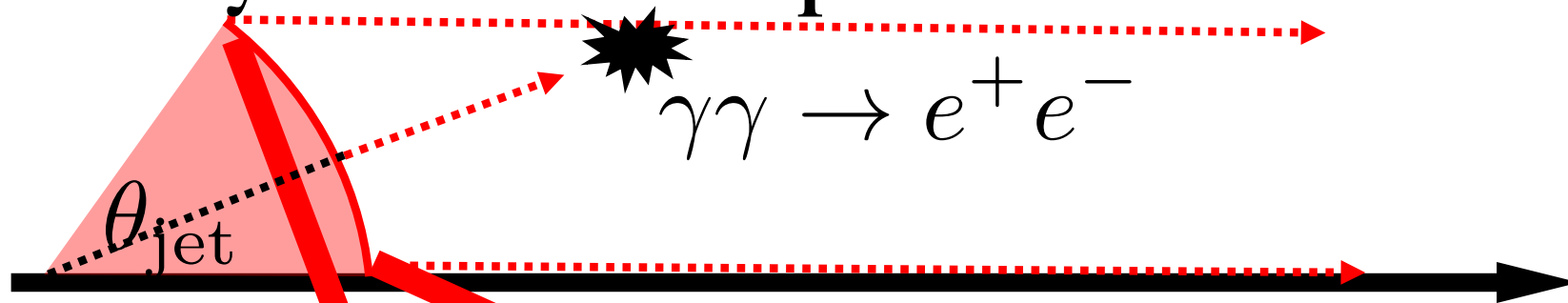
- 観測者が観測するフラックス

$$\begin{aligned}\frac{dF_o}{d\varepsilon_o} &\propto \int d\mu_o \varepsilon_o^3 f(\varepsilon_o) \mu_o & \varepsilon \varepsilon_t (1 - \mu_{\text{crit}}) = 2(m_e c^2)^2 \\ \rightarrow & \propto \int d\mu_o \exp[-\tau_{\gamma\gamma}(\mu_o)] \varepsilon_o^3 f(\varepsilon_o) \mu_o\end{aligned}$$



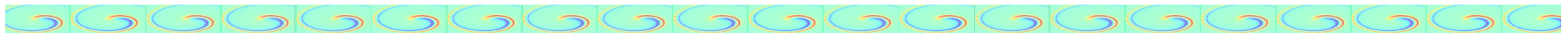


Analytic model -- pair annihilation --



対消滅により
高緯度放射が
弱くなることで、
ピークが細くなる





Result: Magnetar Giant Flare

$$L_{iso} = 10^{47} \text{ erg/s}$$

$$r_0 = 10^6 \text{ cm}$$

$$\Delta r = r_0$$

$$\rightarrow L_{line} \sim 10^{39} \text{ erg/s}$$

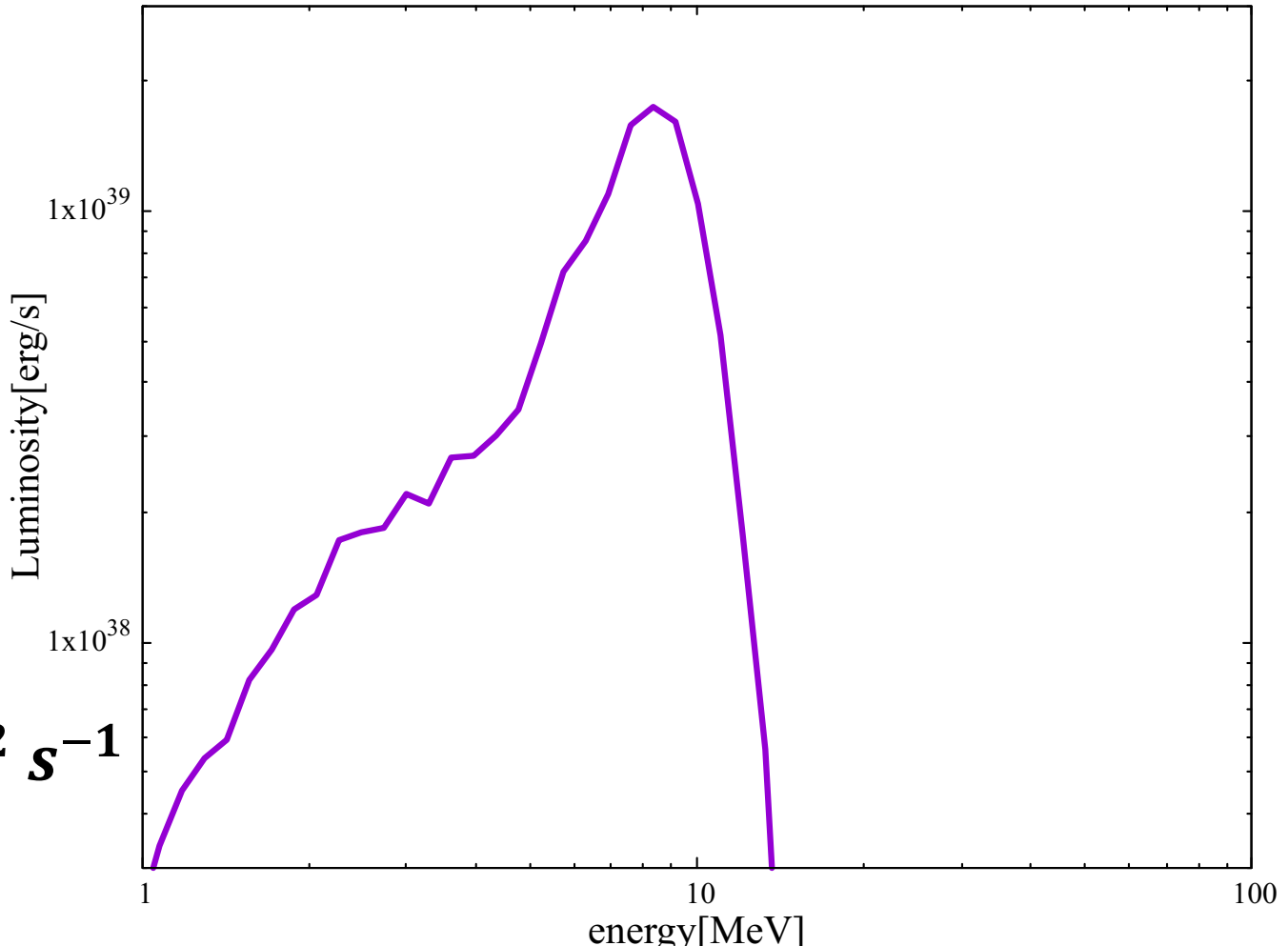
$$\rightarrow @ 10 \text{ kpc}$$

$$F \sim 10^{-7} \text{ erg cm}^{-2} \text{ s}^{-1}$$

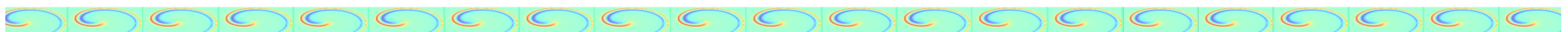
系内マグネターのジャイアントフレア

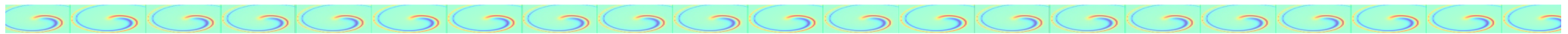
-> 将来のMeV望遠鏡で

観測可能かもしれない。

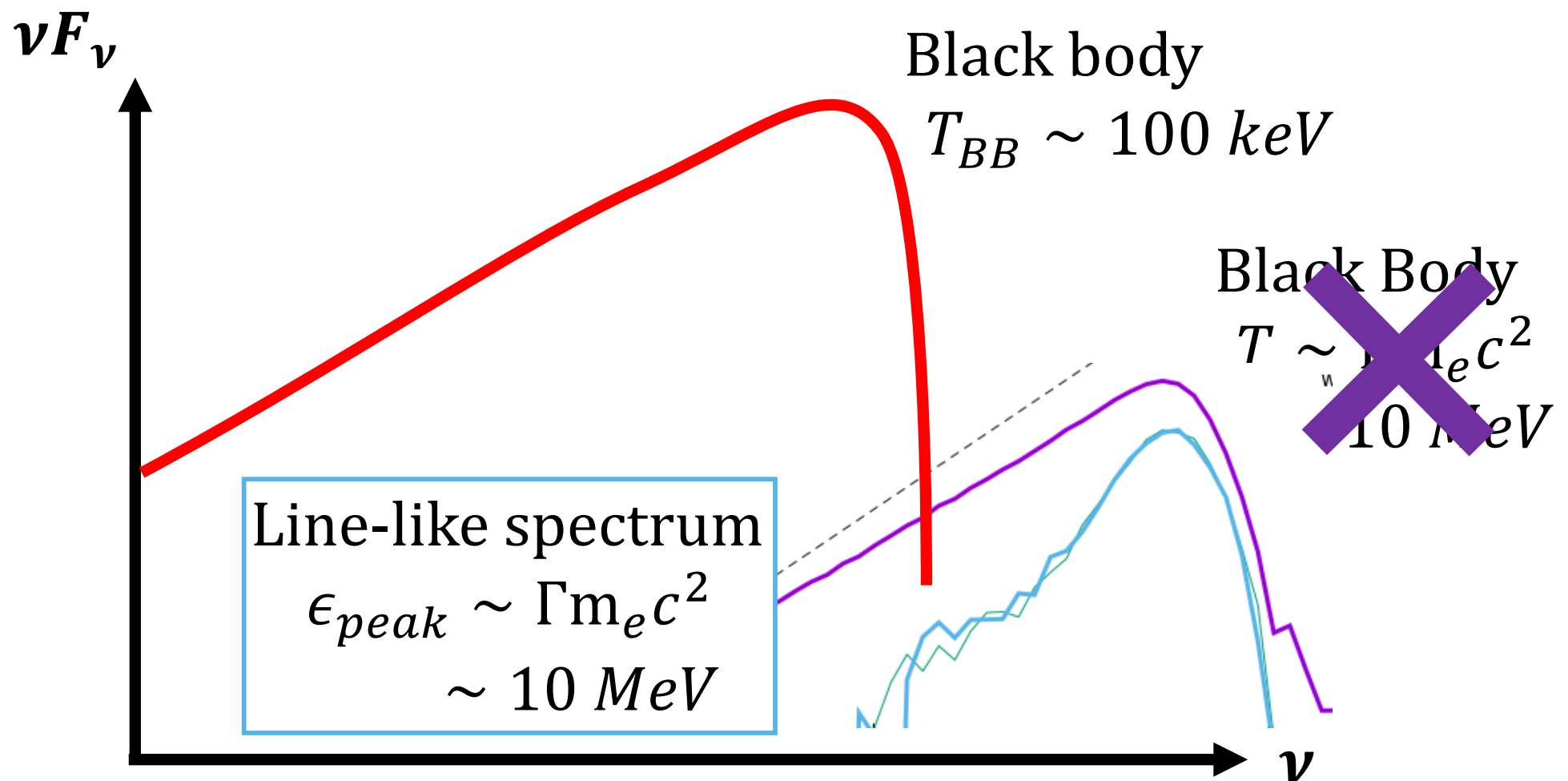


$E_{line} \sim 10 \text{ MeV}$
cf. $T_{BB} \sim 200 \text{ keV}$

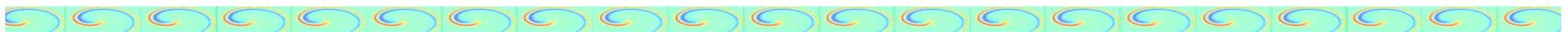


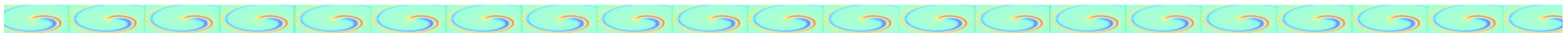


Spectrum Shape: NOT Two-temperature BB



電子陽電子対生成によってライン状の放射が作られる





GRB 221009A: Model 1

即時放射のガンマ線
より、fireballは暗い。

$$L_{iso} = 10^{54} \text{ erg/s}$$

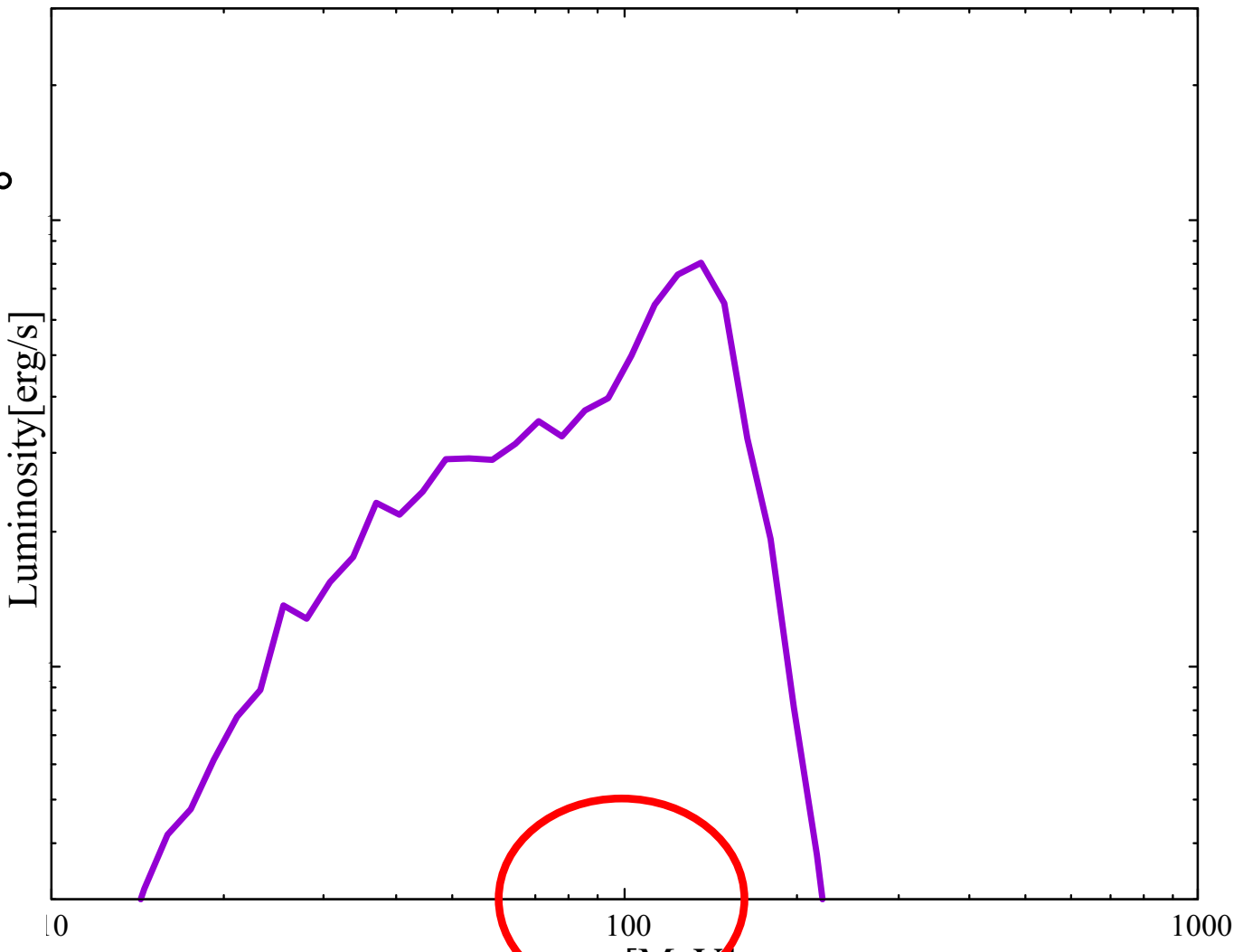
$$r_0 = 10^7 \text{ cm}$$

$$\Delta r = r_0$$

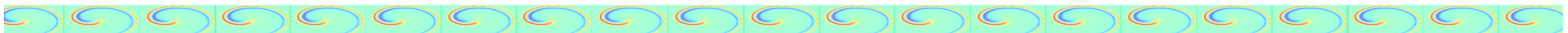


ラインの中心
エネルギーが高い

$r \sim 10^2 r_0$ 付近で
対生成が起こるため。



$E_{\text{line}} \sim 100 \text{ MeV}$
cf. observation $E_{\text{line}} \sim 20 \text{ MeV}$





GRB 221009A: Model 2

即時放射のガンマ線

より暗い。

+ ラインの位置を観測に合わせる

$$L_{iso} = 10^{54} \text{ erg/s}$$

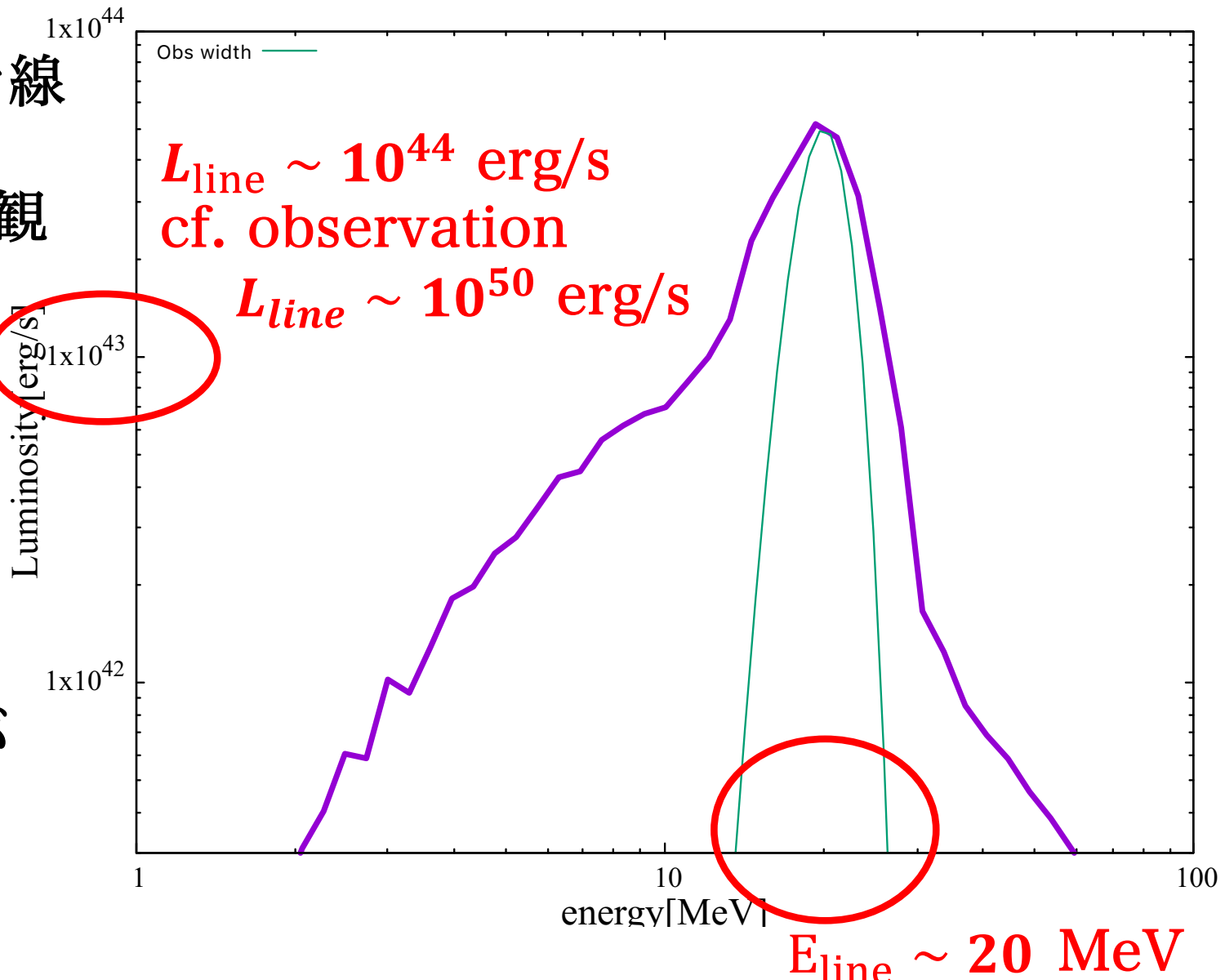
$$r_0 = 10^9 \text{ cm}$$

$$\Delta r = r_0$$



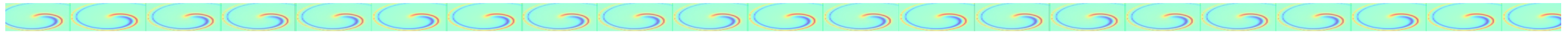
ラインの光度が足りない。

(Model 1でも足りてない。)



GRB 221009Aの観測をfireballで説明するのは難しそう





Summary

- ・ファイアボールモデルを仮定して、対生成、対消滅、コンプトン散乱を考慮して輻射輸送の計算を行った。
- ・相対論的ビーミングによりスペクトルは $F_\nu \propto \nu^2$ 。対生成があると、より細いスペクトルが実現する。
- ・GRB 221009Aの光度はnon-dissipative fireballだと光度が足りないが、系内マグネターのジャイアントフレアだと観測可能かもしれない。

